

Tehniuum

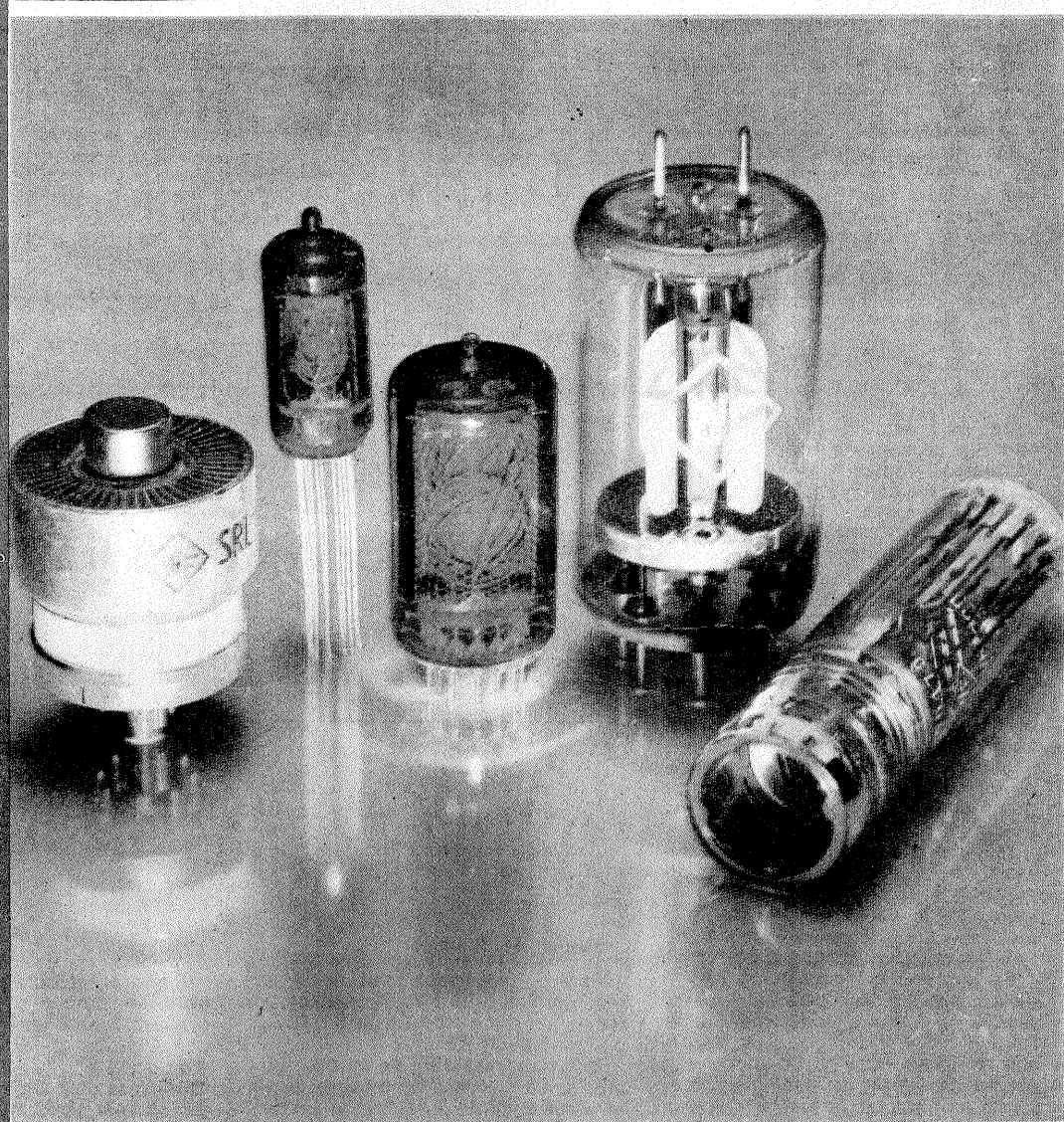
REVISTĂ LUNARĂ EDITATĂ DE C.G. AL U.T.C.

ANUL XVII - NR. 199 **6/87**

CONSTRUCȚII PENTRU AMATORI

SUMAR

LUCRĂRI REALIZATE DE ELEVİ	pag. 2—3
Dip-metru/heterodină modulată	
Radioreceptor	
Tester pentru tranzistoare	
Redresor	
Triluri de păsări	
INIȚIERE ÎN RADIOELECTRONICĂ	pag. 4—5
Protecție	
Alimentare mixtă	
Caracteristica de prag	
Fototelefon	
CQ-YO	pag. 6—7
Transceiver sincrodină DKM—302	
LABORATOR	pag. 8—9
Amplificatoare AF	
Aprinzător de aragaz	
TV—DX	pag. 10—11
Amplificatoare de antenă	
INFORMATICĂ	pag. 12—13
Interfață hard/soft	
Calculul factorului de zgomot	
AUTO-MOTO	pag. 14—15
Autoturismele Oltcit: Service	
Aprindere electronică	
LA CEREREA CITITORILOR	pag. 16—17
CITITORII RECOMANDĂ	pag. 18—19
Aeroionizator	
Verificarea tranzistoarelor FET	
Avertizor auto	
Sondă TTL	
Amplificator	
FOTOTEHNICĂ	pag. 20—21
Cum folosim cinecamera	
QUARTZ 1 x 8C2	
Iobotronic 2000	
REVISTA REVISTELOR	pag. 22
Semnal SSB	
Adaptor pentru chitară	
Baterii miniatură	
Preamplificator	
PENTRU TINERII DIN AGRICULTURĂ	pag. 23
Cultura ciupercilor Pleurotus	
SERVICE	pag. 24
Radiocasetofonul RC810	



AMPLIFICATOARE DE ANTENĂ

(CITIȚI ÎN PAG. 10—11)

DIP-METRU HETERODINĂ MODULATĂ

Elev MIHAI TUDESIE,
Craiova

Acest aparat este prezentat în schema alăturată și cu ajutorul lui se pot face următoarele operații:

- măsurarea frecvenței de rezonanță a unui circuit oscilant „la rece”;
- măsurarea frecvenței necunoscute a unui generator;
- acordarea unui receptor cu semnal modulat;
- verificări și reglaje la amplificatoarele audio.

Aparatul este format din trei părți:

- oscilatorul Colpitts;
- modulatorul;
- alimentatorul.

Oscilatorul Colpitts este realizat cu o triodă de înaltă frecvență de tipul EC92.

Circuitul oscilant de acord este format din condensatorul dublu de tip „Tunist” și bobina schimbătoare L. Condensatorul variabil are două secțiuni, dintre care una de 120 pF și una de 240 pF. La cea mare s-au scos plăci din rotor și stator în scopul egalizării capacităților, obținându-se un condensator variabil dublu de 2 x 120 pF.

Bobina L este construită după datele din tabelul alăturat.

Sarcina anodică o formează șocul S, care este construit pe o carcasă de $\varnothing 12$ și are 4 x 100 de spire cu sîrmă de 0,15 email și bumbac.

În circuitul grilei găsim un potențiomtru cu ajutorul căruia se reglează sensibilitatea instrumentului indicator (microampermetru de tip TESLA).

De asemenea, tot aici, printr-o rezistență de 470 k Ω , se injectează pe grila semnalului de la modulator, atunci cînd comutatorul este în poziția HET.

Aparatul se transformă în heterodină modulată și în acest caz se poate culege semnalul de la borna exterioară HET MOD.

Modulatorul este un oscilator audio cu frecvența de 1 kHz. Transformatorul TR2 are în primar 500 de spire, iar în secundar 200 de spire cu sîrmă de 0,15 cupru-email, bobinate pe un miez miniatură de 1 cm².

Pe circuitul primar este plasat un divizor capacitiv pe care se dozează reacția cu ajutorul unui potențiomtru semireglabil de 10 k Ω . De poziția acestui potențiomtru depinde atît pragul de intrare în oscilație, cît și forma semnalului la ieșire, adică la borna AUDIO.

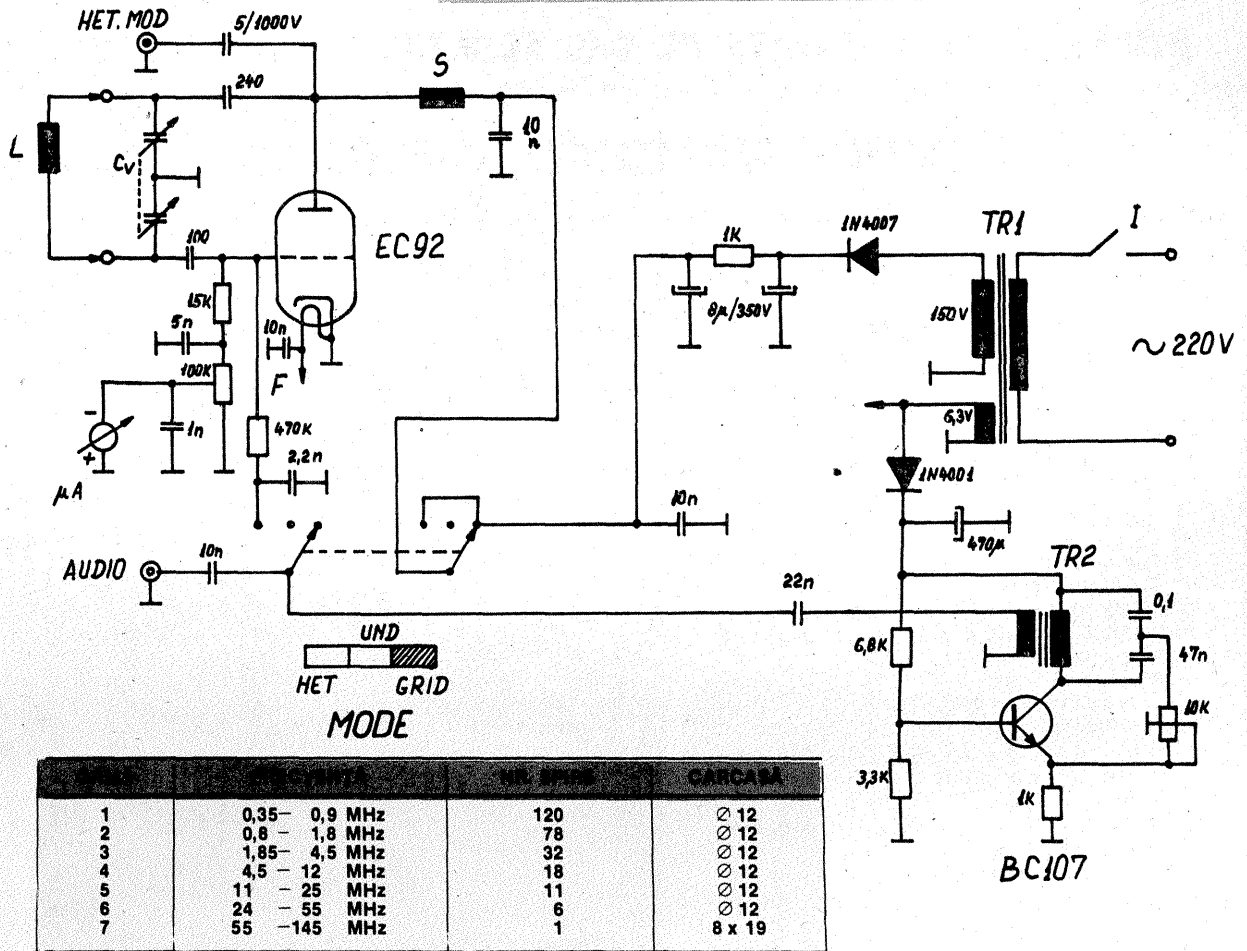
Prin conectarea unui osciloscop la borna audio se va regla potențiomtrul pentru obținerea unui semnal perfect sinusoidal.

Alimentatorul este format din transformatorul TR1 ce livrează în secundar tensiunile alternative de 150 V și 6,3 V.

Pentru alimentarea anodică a tubului EC92 se redresează tensiunea de 150 V cu ajutorul unei diode 1N4007, apoi este filtrată de celula 2x8 μ F/350 V și rezistența de 1 k Ω .

Alimentarea modulatorului se face prin redresarea tensiunii de 6,3 V cu ajutorul unei diode 1N4001 și prin filtrarea cu 470 μ F. Aparatul este construit într-o cutie din tablă de aluminiu de 2 mm grosime și are formă paralelipipedică.

Pe una din fețe se găsesc: scala gradată, butonul de sensibilitate al instrumentului indicator, comutato-



rul modului de lucru și întrerupătorul de rețea I. Cele două borne AUDIO și HET MOD sînt din cele pentru căștile miniatură montate pe o față laterală împreună cu șocul lui L.

Modul de folosire

Pentru măsurarea frecvenței de rezonanță a unui circuit oscilant „la rece” se pune comutatorul MODE pe poziția GRID.

În timpul măsurării se apropie bobina L de circuitul de măsurat și se urmărește minimul indicației instrumentului însoțit de un „dip”. În acest moment nu se mai rotește scala aparatului și se citește frecvența.

Pentru măsurarea frecvenței necunoscute a unui generator, fie că apropiem bobina L de cîmpul generatorului, fie folosim un cuplaj cu câteva spire între bobina L și cea a generatorului. În acest caz urmărim ca prin rotirea scalei să obținem un maxim la instrumentul indicator, apoi citim frecvența.

Pentru acordarea receptoarelor cu semnal modulat se pune MODE pe poziția HET, iar la borna HET MOD apare semnalul modulat; pentru injectarea lui în aparate se folosește un cablu ecranat cu jack tip casă miniatură de radio portativ.

Pentru verificarea și reglarea amplificatorului audio se culege semnalul de la borna AUDIO, indiferent de poziția lui MODE.

Printre cititorii noștri se numără foarte mulți pionieri, elevi și școlari care se inițiază în domeniul construcțiilor electronice, devenind, pe măsura posibilităților, autorii unor diverse montaje. În cinstea zilei de 1 Iunie, Ziua Internațională a Copilului, publicăm în aceste pagini câteva construcții propuse de cei mai tineri colaboratori ai revistei.

RADIORECEPTOR

Elev DAN M. ISTRATE,
Craiova

Radioreceptorul prezentat în figură se compune dintr-un circuit oscilant format din bobina L₁, condensatoarele C₁ și C₂, o diodă de detecție, un tranzistor T₁, o cască de telefon sau cască radio cu impedanță mai mare de 100 Ω și este alimentat de la o baterie cu tensiunea de 4,5 V-9 V.

Bobina L₁ se construiește pe un tub de PVC sau un tub de carton cu diametrul de 3-4 cm. Bobina are 100 de spire împărțite în 5 secțiuni de câte 20 de spire cu sîrmă din cupru izolat cu email sau bumbac,

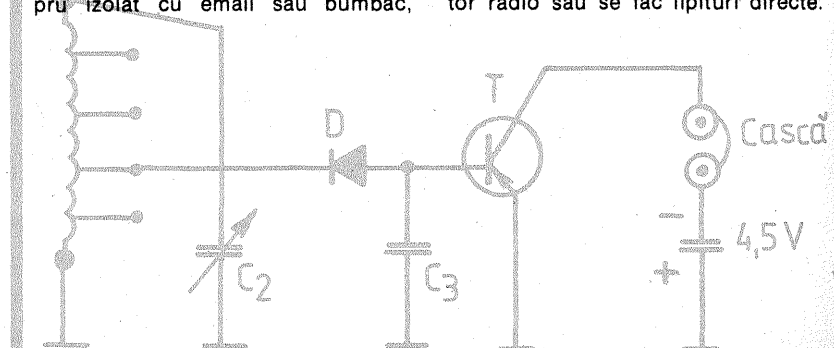
conductorul avînd un diametru de 0,1-0,5 mm.

Se vor monta condensatoarele: C₁ = 100 pF, C₂ = 500 pF (condensator variabil de acord), C₃ = 200 pF.

Dioda D₁ poate fi EFD108; EFD306 sau altă diodă de detecție. Tranzistorul T₁ poate fi EFT121, EFT321, EFT323.

La prizele 1-4 se pot pune borne îngropate; la A₁ și la antenă se poate pune o banană pentru comutare ușoară.

Se mai poate folosi și un comutator radio sau se fac lipituri directe.



TESTER

pentru tranzistoare

Mă numesc **ADRIAN NEMEȘ** și sint elev al Liceului de Matematică-Fizică din Sfintu Gheorghe, județul Covasna. Electronica este una din ocupațiile mele în timpul liber. Sint un cititor înflăcărat al revistei „Tehnum”, revistă care m-a ajutat să îmi îmbogățesc cunoștințele în domeniul electronicii. Prin intermediul acestei reviste aș dori, dacă se poate, să se publice schema unui montaj realizat de mine. Am realizat acest montaj deoarece este folositor în verificarea tranzistoarelor, respectiv la identificarea tipului pnp sau npn.

Acest montaj se compune din două generatoare Morse combinate între ele. Cu ajutorul primului generator (în figură cel de sus) se pot verifica tranzistoarele de tip npn (Tx), iar cu ajutorul celui de-al doilea tranzistoarele de tip pnp (Ty), în figură cel de jos. Particularitatea montajului constă în faptul că ambele generatoare sint conectate la aceeași cască și sint alimentate de la aceeași sursă prin intermediul unui comutator cu două poziții. Piesele folosite sint: $T_1 = BC251 - 253$; $T_2 = BC171 - 173$; $R_1 = R_2 = 22 \text{ k}\Omega$; $C_1 = C_2 = 15 \mu\text{F}$; C.T. = cască 50 Ω ; K_2 —comutator cu două poziții; K_1 —comutator cu o poziție.

MODUL DE FUNCȚIONARE

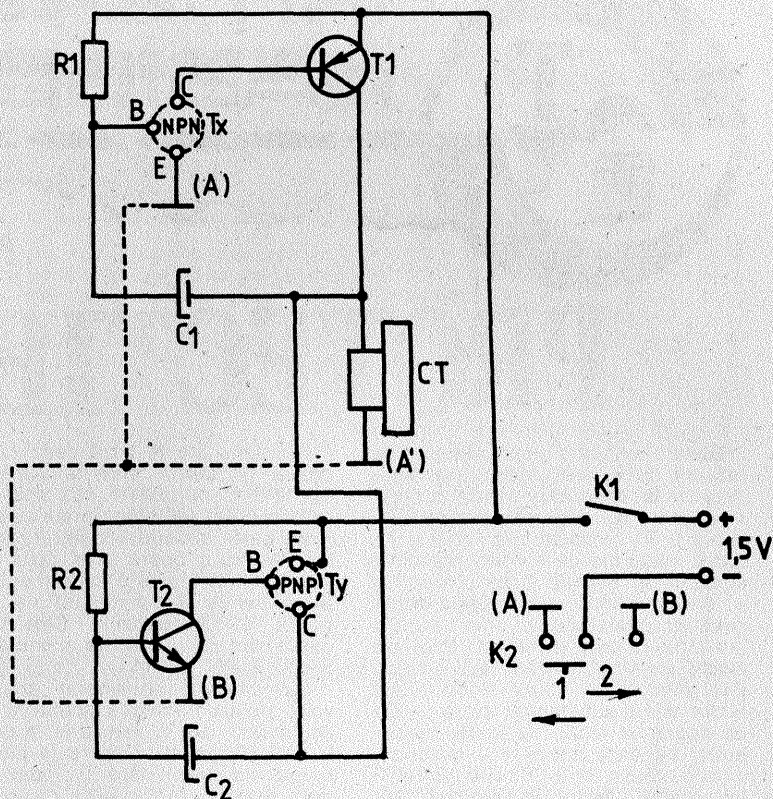
Pentru a verifica dacă tranzistorul este bun și pentru a afla tipul lui (nnp sau pnp), procedăm astfel:

acționăm comutatorul K_1 în poziția „aprinș”, după care fixăm comutatorul K_2 în poziția 1. Tranzistorul care trebuie verificat îl vom fixa în soclul Tx (avînd grijă la poziția piciorușelor în soclu). Astfel, dacă tranzistorul ar fi bun și ar fi de tip npn, în cască s-ar auzi un ton, iar dacă ar fi bun, dar ar fi de tip pnp, nu se va auzi tonul în cască. La fel, dacă tranzistorul va fi defect, nu se va auzi tonul. Dacă pe poziția 1 nu se va auzi tonul, iar noi nu știm dacă tranzistorul este npn sau pnp, vom fixa comutatorul K_2 pe poziția 2 și vom fixa tranzistorul în soclul Ty. Dacă se va auzi tonul în cască, tranzistorul este bun, dar dacă nici de data aceasta nu se va auzi înseamnă că tranzistorul este defect.

De exemplu, dacă avem un tranzistor de tip pnp (AC180), îl vom fixa în soclul Ty și vom acționa comutatorul pe poziția 2 (pnp). Dacă

tranzistorul este bun, în cască se va auzi un ton, iar dacă nu este bun, nu se va auzi tonul. La fel, dacă avem un tranzistor de tip npn (BC107), îl vom fixa în soclul Tx și vom acționa

comutatorul K_2 pe poziția 1. Dacă tranzistorul este bun, atunci se va auzi tonul în cască, dacă nu este bun, nu se va auzi. Montajul va fi alimentat de la o baterie tip „creion” de 1,5 V.



REDRESOR

Elev **DORIN PĂTROI**,
Tirgu-Jiu

Propun celor interesați o schemă de alimentator cu dublare de tensiune, util în anumite situații (de exemplu, cînd transformatorul asigură o tensiune redusă sau cînd este necesară o sursă de tensiune simetrică, transformatorul neavînd prevăzută o priză mediană la înfășurarea secundară).

Schema de principiu este prezentată în figură.

Schema este interesantă deoarece pentru obținerea tensiunii duble la

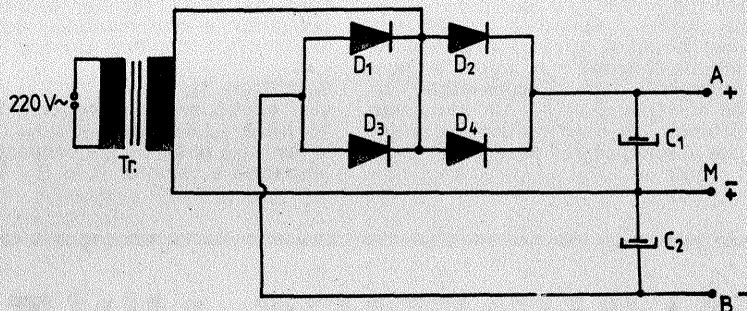
bornele A—B se utilizează o punte redresoare de tipul 1PM sau 3PM (care suportă tensiunile respective).

Funcționarea schemei este simplă. Cînd se aplică la borne alternanța pozitivă, ea trece prin gruparea paralelă D_2, D_4 și încarcă pe C_1 . Cînd se aplică alternanța negativă, ea trece prin diodele D_1, D_3 și încarcă celălalt condensator, C_2 . Prin însumarea tensiunilor ce se obțin pe cele două condensatoare se obține tensiunea U_{AB} , dublă față de redresarea obiș-

nuită.

În cazul cînd este nevoie de o sursă simetrică, borna M se cuplează la masa montajului, obținîndu-se tensiunea simetrică $\pm U_{AB}/2$. Alt avantaj al acestei scheme este faptul că se poate asigura un curent

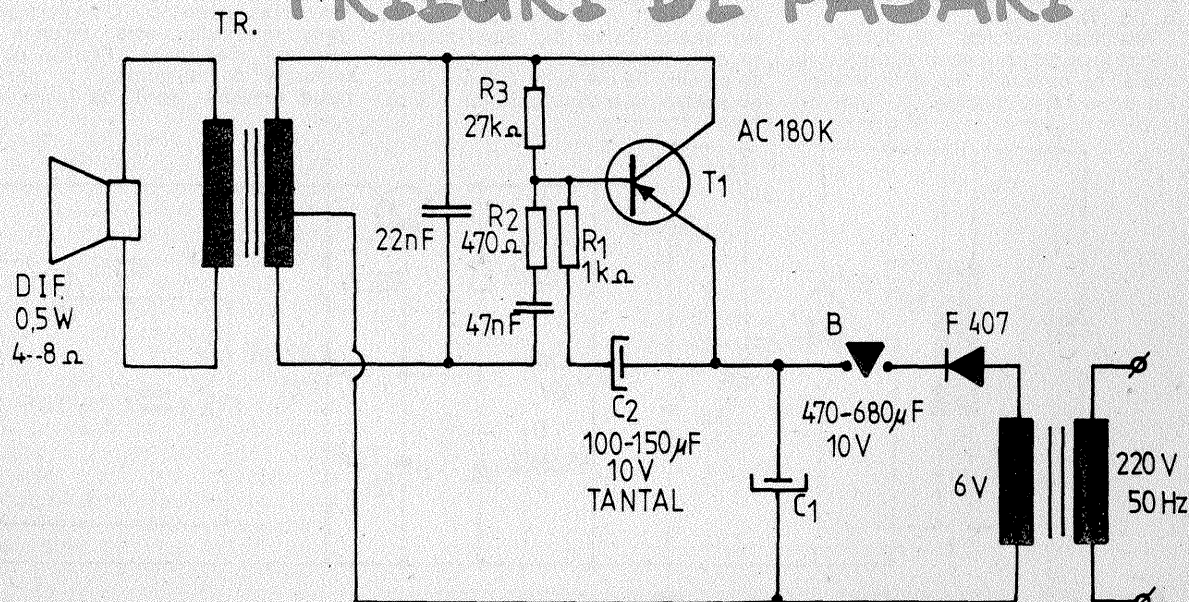
dublu față de cel pe care îl poate suporta puntea în cuplare obișnuită. Trebuie avut însă în vedere ca fiecare grupare paralelă de diode (D_1, D_3 și D_2, D_4) să suporte tensiunea inversă de vîrf ce poate apărea în montaj.



Mă numesc **VIOREL FLORIN**, sint elev în clasa a IX-a și un pasionat al electronicii. Urmăresc cu interes schemele publicate în revista „Tehnum”, o parte din ele realizîndu-le cu rezultate foarte bune (de exemplu, un amplificator de 40 W, o orgă de lumină, un temporizator cu multiplicare de capacitate din nr. 4/1982 și multe alte montaje). Doresc foarte mult să devin colaborator al acestei reviste. În speranța că dorința mea poate deveni realitate, trimit pentru citirii revistei schema unui generator de „triluri de păsărele”, realizat de mine, o schemă foarte simplă și ușor de experimentat.

Grupul T_1, R_3, C_1, C_2 formează un generator cu o frecvență de aproximativ 1 kHz. O dată cu conectarea rezistenței R_1 și a condensatorului electrolitic $C_2 = 100 - 150 \mu\text{F}/10 \text{ V}$, care va fi cu tantal, montajul va imita trilurile de păsărele. Dacă întrerupem alimentarea din butonul B, montajul va funcționa pînă la descărcarea condensatorului C_1 . Transformatorul TR este de tipul transformatoarelor de ieșire folosite în radioreceptoarele „Mamaia”.

TRILURI DE PĂSĂRI





INIȚIERE ÎN RADIOELECTRONICĂ

PROTECȚIE

Bobina mobilă a instrumentelor de măsură cu ac indicator, fiind realizată cu fir conductor foarte subțire, se poate arde ușor atunci când este supusă, din greșeală, unor suprasolicități exagerate de curent (respectiv tensiune la borne). Deteriorarea nu se produce însă imediat după depășirea curentului maxim admis pentru indicația la cap de scală. Deși nu există un coeficient de suprasolicitate permisă universal valabil (acest factor diferă substanțial de la un tip de aparat la altul), se poate presupune, pe baza experienței practice, că o depășire de 3—5 ori a curentului nominal, pentru un timp scurt, nu „reușește” să producă pagube însemnate (eventual cu excepția deformării ușoare a acului la lovirea limitatorului de cursă).

Această observație stă la baza diverselor circuite de protecție care, fără a afecta sensibil indicația instrumentului în domeniul permis, limitează curentul prin bobină înainte ca el să devină periculos.

Exemplul din figură rezolvă această problemă, combinată cu reducerea de un număr dorit de ori a sensibilității. Pentru a urmări mai ușor modul de calcul, vom considera situația concretă a unui microampermetru cu $I_i = 10 \mu A$ (curentul de cap de scală) și $R_i = 7,5 k\Omega$ (rezistența bobinei), pe care dorim să-l protejăm și totodată să-l desensibilizăm la $I = 100 \mu A$.

Protecția are la bază deschiderea diodei D_1 atunci când tensiunea la bornele ei depășește cca 450—500 mV; în acest fel, dioda preia cea mai mare parte din supracurentul periculos. Pentru a opera și în cazul unei conectări inversate a instrumentului, în paralel cu D_1 s-a montat o a doua diodă, D_2 , în opoziție. Cele două diode sînt cu siliciu, de exemplu de tip 1N4148, 1N914.

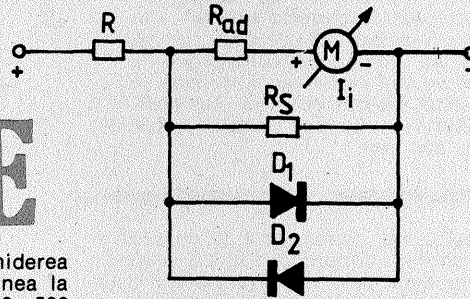
Instrumentul considerat are nevoie, pentru indicația acului la cap de scală, de o tensiune la borne $U_i = R_i \cdot I_i = 75 mV$. Diferența pînă la pragul de deschidere a diodei fiind mult prea mare, în serie cu instrumentul a fost plasată o rezistență R_{ad} , care se dimensionează astfel încît căderea de tensiune pe grupul $R_i + R_{ad}$, pentru indicația la cap de scală, să fie de cca 150 mV: $(R_i + R_{ad}) \cdot I_i \approx 150 mV$ (1)

În cazul nostru concret, $R_{ad} \approx 7,5 k\Omega$.

Desensibilizarea de $n = I/I_i = 10$ ori se face prin introducerea șuntului R_s . De data aceasta însă, la calcularea valorii lui R_s , se va ține cont de noua rezistență internă „aparentă” a instrumentului, respectiv $R' = R_i + R_{ad}$. Prin urmare, vom lua:

$R_s = R' / (n - 1)$ (2)
sau, pentru exemplul concret, $R_s = 15 k\Omega / 9 = 1,67 k\Omega$.

Pentru a ține cont de cunoașterea imprecisă a valorilor R_i și R_{ad} , ca și



de eventualul efect de șuntare produs prin deschiderea foarte slabă a diodei D_1 , rezistența șuntului va fi realizată practic sub forma unei combinații reglabile, în cazul nostru, de exemplu, $1,3 k\Omega$ fixă + 500Ω trimer. Valoarea exactă se stabilește experimental, prin comparație cu alt microampermetru de $100 \mu A$ etalonat (se inseriază cele două instrumente, se reglează curentul prin circuit la $100 \mu A$ și se ajustează trimmerul astfel ca și instrumentul adaptat să indice capul de scală).

Am menționat mai sus posibilul efect de șuntare produs prin deschiderea diodei D_1 . Într-adevăr, în vecinătatea capului de scală al instrumentului protejat, la bornele grupului D_1-D_2 se va aplica o tensiune de cca 150 mV, care este inversă în raport cu D_2 și directă în raport cu D_1 . Cu toate că se folosesc diode cu siliciu, este posibil ca D_1 să înceapă să conducă foarte slab (fracțiuni de microamper), afectînd în mică măsură indicațiile în vecinătatea capului de scală. Acest lucru poate fi însă foarte ușor verificat: se aduce acul la capul de scală ($100 \mu A$) și se deconectează dioda D_1 ; dacă indicația prezintă o creștere perceptibilă, înseamnă că dioda conducea într-adevăr. Remediu îl constituie, așa cum am arătat, calibrarea

șuntului R_s , după montarea diodelor D_1 și D_2 . În cazuri extreme, când conducția diodei afectează cu mai mult de cca 0,5% indicația acului la cap de scală, se va înlocui D_1 sortînd un alt exemplar convenabil.

Problema propusă este astfel rezolvată, modul de calcul putînd fi ușor transpus pentru alte tipuri de instrumente. Mai rămîne totuși un amănunt de discutat, și anume protecția diodelor D_1-D_2 în situațiile foarte puțin probabile (dar posibile), cînd la bornele instrumentului adaptat s-ar aplica, din greșeală, tensiuni mult prea mari, fără a exista în circuit nici un element de limitare. În astfel de cazuri, dioda D_1 se poate distruge fie prin scurtcircuit (și atunci instrumentul indicator nu este pus în pericol), fie prin întreruperea continuității (și atunci instrumentul este total compromis).

Ideea este deci de a introduce în serie cu instrumentul o a doua rezistență suplimentară (în schemă, R), pe care o vom dimensiona de la caz la caz, în funcție de natura circuitului în care se fac măsurători.

Atunci cînd instrumentul urmează să fie folosit ca milivoltmetru sau voltmetru, rezistența R nu mai este necesară, limitarea în curent fiind asigurată de către rezistența adițională de calibrare. Cînd instrumentul este utilizat ca microampermetru, rezistența R se ia de ordinul sutelor sau al zeilor de ohmi (să fie mică în comparație cu rezistența internă globală a instrumentului adaptat, pentru a nu-i afecta sensibil indicațiile, dar în același timp suficient de mare pentru a limita la valori nepericuloase curentul prin dioda D_1 în cazurile accidentale).

Pagini realizate de fiz. A. MĂRCULESCU

ALIMENTARE MIXTĂ

Montajul alăturat reprezintă un alimentator care furnizează la ieșire două tensiuni continue cu masa comună, una de +5 V stabilizată, iar cealaltă +U ≈ 500 V, fiind experimentat cu bune rezultate la alimentarea detectorului de radiații publicat în nr. 8/1986 al revistei (pag. 3, fig. 7).

Avantajul principal al sursei îl constituie posibilitatea alimentării mixte, cu selectare din comutatorul K_1 : de la rețea (poziția R), prin in-

termediul unui transformator + redresor, sau de la baterii (poziția B). În ambele cazuri, tensiunea continuă de plecare (practic între 7,5 V și 10 V) este bine filtrată și redusă prin stabilizare (T_1 cu piesele aferente) la cca 5 V. Valoarea exactă a tensiunii stabilizate, care nu trebuie să depășească 5,1 V, se obține prin sortarea diodei Zener D_1 . Stabilizatorul se dimensionează pentru un curent de sarcină de cel puțin 300 mA, motiv pentru care tranzistorului T_1 i se

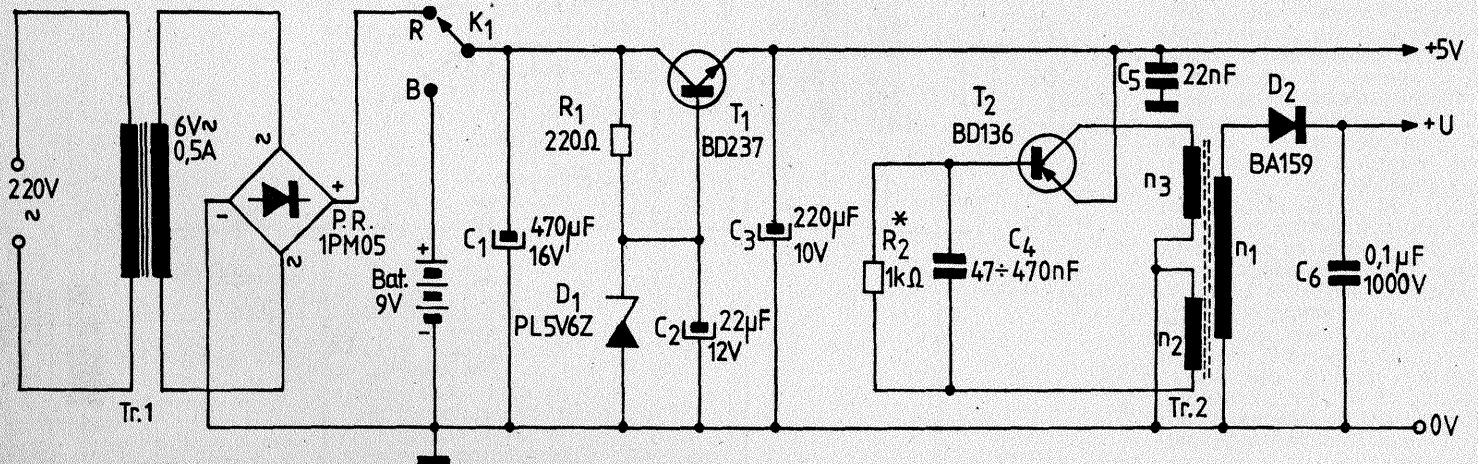
va atașa un mic radiator din aluminiu în formă de U (cca 6 cm²).

Schema convertorului realizat cu T_2 este inspirată din articolul „Aprinzător de aragaz”, care apare în acest număr. Deși comportă un randament scăzut, acest convertor este avantajos prin faptul că nu utilizează oală de ferită sau miez E + E din ferită la construcția transformatorului Tr.2. Se poate folosi o bucată de bară de ferită cilindrică $\varnothing 8 \div 10$ mm, căreia i se confecționează o carcasă adecvată din carton sau material plastic. Construcția transformatorului este descrisă în articolul menționat. Pentru noua tensiune de alimentare și pentru noua tensiune dorită la ieșire am

modificat doar numerele de spire astfel: $n_1 = 1500$ spire $\varnothing 0,15$ mm, $n_2 = 4$ spire și $n_3 = 12$ spire. Înfășurările n_2 și n_3 le-am realizat cu conductoare lițate subțiri, izolate în plastic. Tranzistorul T_2 este prevăzut cu radiator.

Valorile R_2 și C_4 se tatonează experimental pentru obținerea unui randament optim de transfer (tensiunea dorită la ieșire, de cca 500 V, la un consum minim din sursa stabilizată de 5 V).

Măsurarea tensiunii +U se face cu un voltmetru electronic. Ajustarea ei la valoarea de palier a contorului utilizat se face cu ajutorul unui divizor rezistiv (rezistențe mari, de ordinul megaohmilor).



CARACTERISTICA de PRAG

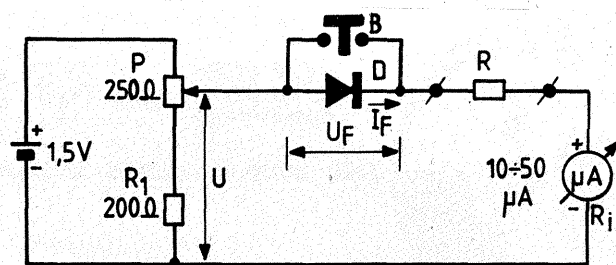
Ne-am obișnuit să spunem că o diodă redresoare cu siliciu are „pragul” de deschidere de cca 0,6—0,7 V; mai precis, dioda „intră” în conducție din momentul în care tensiunea directă U_F aplicată la bornele ei atinge valoarea de cca 0,6—0,7 V. Acest lucru este valabil dacă prin intrarea în conducție înțelegem atingerea unui curent direct I_F semnificativ, de exemplu de ordinul fracțiilor de miliamper sau al miliamperilor, în cazul diodelor de mică putere. Există însă situații practice care impun sortarea sau împerecherea unor diode după comportarea lor în zona curenților mult mai mici, de ordinul microamperilor, unde căderile de tensiune în direct sînt substanțial mai reduse. În această porțiune a caracteristicii, rezistența internă a diodei este foarte mare, astfel încît tensiunile U_F nu pot fi măsurate precis în absența unui voltmetru electronic. Nimic nu

ne împiedică însă să ne imaginăm diverse artificii de măsurare indirectă, dar suficient de precisă, de exemplu ca acela din figură.

Să presupunem că nu avem la dispoziție un voltmetru sensibil, în schimb, posedăm un microampermetru cu $10 \div 50 \mu A$ la cap de scală, cu scala suficient de mare pentru a citi precis zecimea de microamper.

Plecînd de la o baterie miniatură de 1,5 V, realizăm cu ajutorul divizorului R_1-P o sursă de tensiune continuă U pe care o reglăm la cca $0,8 \div 1$ V; valoarea exactă U nu are importanță, esențială fiind doar condiția impedanței interne mici.

Cu butonul B neapăsăm, pentru o rezistență R cunoscută citim curentul prin instrument, care este totodată și curentul direct prin diodă, I_F . Fără a modifica elementele din circuit, apăsăm apoi butonul B scurtcircuitînd dioda D și citim noua valoare a curentului, I ; deoarece



acum nu mai intervine căderea în direct pe diodă, U_F , noua valoare I va fi mai mare decît I_F (atenție la capul de scală).

Din aceste două măsurători, cărorora le corespund, pe baza legii lui Ohm, relațiile:

$$U = U_F + (R + R_i) \cdot I_F, \text{ respectiv}$$

$$U = (R + R_i) \cdot I$$

(unde am notat cu R_i rezistența internă a microampermetrului), deducem ușor expresia căderii de tensiune U_F pe diodă, corespunzătoare curentului I_F măsurat inițial: $U_F = (R + R_i) \cdot (I - I_F)$

Mai multe perechi succesive (I_F ; U_F) se determină similar, alegînd convenabil valorile rezistenței de li-

mitare R (de exemplu, scădem pe R astfel încît curentul I_F să crească aproximativ din 2 în 2 μA). Un prealabil calcul mental orientativ este obligatoriu, pentru a nu „prăji” instrumentul.

Măsurarea rezistențelor este, de obicei, mai imprecisă decît măsurarea curentului; de aceea se recomandă folosirea unor rezistențe de precizie ($\pm 1\%$ sau chiar $\pm 5\%$), chiar dacă rezultă valori I_F fracționare.

Perechile (I_F ; U_F) se tablează, se reprezintă grafic sau se compară între diverse exemplare de diode, în funcție de scopul concret urmărit.

BTJL

Pentru a măsura cu precizie satisfăcătoare tensiunea electromotoare a unui generator, rezistența internă R_i a voltmetrului utilizat trebuie să fie mult mai mare decît rezistența internă R_g a generatorului. Într-adevăr, cele două rezistențe, parcurse de același curent de măsurare (fig. 1), formează un divizor care împarte tensiunea electromotoare U în fracțiunile U' , la bornele lui R_i și, respectiv, $U-U'$, la bornele lui R_g . Frațiunea U' indicată de voltmetru este mai mică decît U , diferența $U-U'$ putînd fi neglijată practic numai atunci cînd R_i este foarte mare în raport cu R_g .

Teoria este cunoscută, dar ce putem face totuși dacă trebuie să măsurăm tensiunea unui generator cu impedanță internă mare și nu dispunem de un voltmetru electronic?

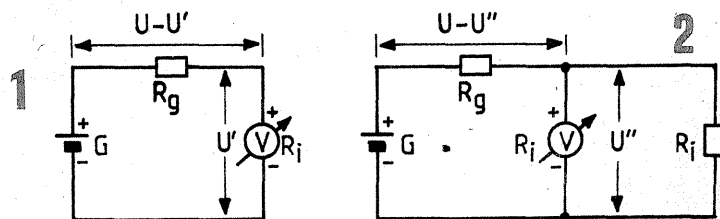
Dacă rezistența internă a generatorului ar fi cunoscută precis (situație rar întîlnită în practică), problema s-ar reduce la o simplă corecție a citirii directe U' , conform relației:

$$U = U'(1 + R_g/R_i) \quad (1)$$

De exemplu, utilizînd un voltmetru c.c., pe domeniul de 1 000 V, căruia îi corespunde o rezistență internă $R_i = 10 \text{ M}\Omega$, măsurăm la bornele unui generator cu rezistența internă $R_g = 5 \text{ M}\Omega$ o tensiune $U' = 400 \text{ V}$. Valoarea reală a tensiunii electromotoare este: $U = 400 \text{ V} (1 + 5 \text{ M}\Omega/10 \text{ M}\Omega) = 600 \text{ V}$.

Dacă rezistența generatorului este necunoscută, simpla măsurare a tensiunii U' , conform figurii 1, nu ne spune decît că valoarea căutăută U este mai mare sau cel puțin egală cu U' . Nedeterminarea poate fi însă înlăturată dacă efectuăm încă o măsurare pentru un alt curent total prin circuit. În figura 2 este sugerată o soluție posibilă, anume conectarea în paralel cu voltmetrul a unei rezistențe R_i egală cu rezistența internă a voltmetrului (pe domeniul pe care se efectuează citirea). Noua tensiune indicată de voltmetru, U'' , va fi mai mică sau cel puțin egală cu U' . Noi ne ocupăm aici de generatoarele cu impedanță internă mare și în aceste cazuri diferența $U' - U''$ este, de regulă, mare. Dacă totuși diferența citirilor este nesemnificativă, înseamnă că voltmetrul utilizat este adecvat măsurării în cauză și problema corecției nu se mai pune.

Pentru a determina valoarea cău-



tată U , vom aplica legea lui Ohm întregului circuit în cele două situații de măsurare; rezultă relațiile:

$$U - U' = \frac{R_g}{R_i} U' \quad (2)$$

$$U - U'' = \frac{2R_g}{R_i} U'' \quad (3)$$

care constituie un sistem de două ecuații cu două necunoscute, U și R_g .

Prin procedeele elementare de rezolvare deducem:

$$U = \frac{U'U''}{2U'' - U'} \quad (4)$$

$$R_g = \frac{U' - U''}{2U'' - U'} R_i \quad (5)$$

Exemplu. Cu un voltmetru obișnuit avînd $R_i = 10 \text{ M}\Omega$ pe domeniul de 1 000 V măsurăm, conform figurii 1, $U' = 400 \text{ V}$. Conectînd în paralel cu voltmetrul o rezistență de $10 \text{ M}\Omega$, noua citire devine $U'' = 300 \text{ V}$. Din relația (4) deducem $U = 400 \text{ V} \cdot 300 \text{ V} / (2 \cdot 300 \text{ V} - 400 \text{ V}) = 600 \text{ V}$, iar din relația (5), $R_g = (400 \text{ V} - 300 \text{ V}) \cdot 10 \text{ M}\Omega / (2 \cdot 300 \text{ V} - 400 \text{ V}) = 5 \text{ M}\Omega$.

Precizia acestor măsurări indirecte depinde esențial de valoarea diferenței $2U'' - U'$. La nevoie, rezistența suplimentară din figura 2 se poate lua mai mică decît R_i , tot de valoare cunoscută ($R_i/2$, $R_i/3$ etc.), dar în acest caz relațiile de mai sus trebuie modificate corespunzător.

FOTOTELEFON

Datorită interferențelor reduse cu factorii mediului ambiant, telecomunicațiile și telecomenzile cu lumină modulată sînt adeseori preferabile căilor clasice de transmisie — cu fir sau prin unde radio —, în special la distanțe mici.

Constructorilor amatori le sînt, deocamdată, mai greu accesibile aceste montaje, impedimentul principal constituindu-l procurarea elementului emisiv. Rezultate optime se obțin folosind „lumina” invizibilă din domeniul infraroșului apropiat, unde se plasează, de regulă, și zona de sensibilitate maximă a fotodiodelor și fototranzistoarelor cu siliciu (orientativ 850 nm), care servesc ca receptoare. Problema rămîne însă de a procura elementul emisiv adecvat, respectiv un LED cu emisie în infraroșu

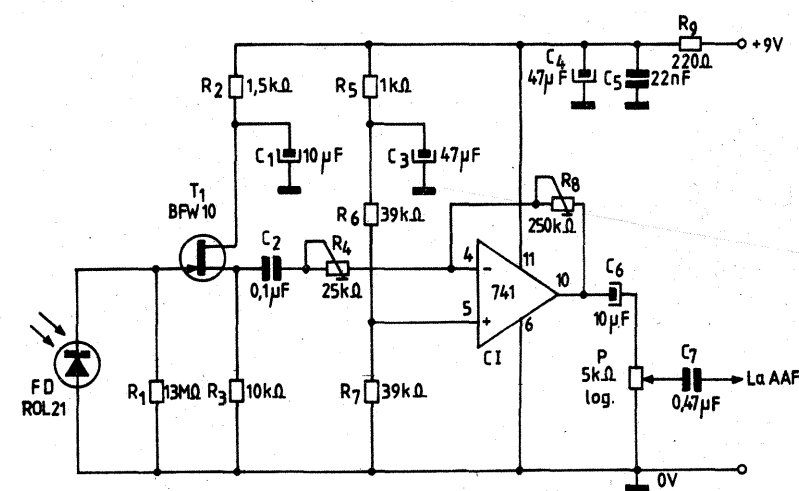
(de exemplu, de tip AA107, CQY11C etc.). Celor care posedă un astfel de dispozitiv le propunem în continuare un experiment amuzant, dar totodată cu multiple posibilități de aplicabilitate practică, anume realizarea unui fototelefon pentru distanțe mici, de ordinul metrilor sau al zecilor de metri. Prin realizarea unui sistem optic eficient (lentile mari de focalizare la emisie și recepție, aliniere perfectă etc.), „bătăia” poate fi extinsă pînă la ordinul sutelor de metri, dar aceste cerințe sînt din nou pretențioase pentru constructorii începători. Ne vom mulțumi deci să încercăm a comunica prin lumină modulată între două incinte învecinate, bineînțeles cu vizibilitate liberă de la una la alta, în condițiile în care vorbirea directă nu este

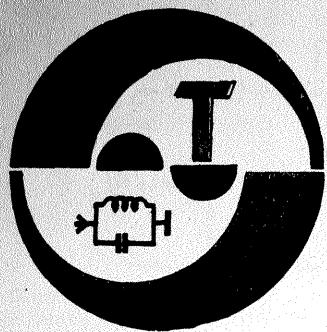
posibilă (zgomot mare, uși sau ferestre închise etc.).

Un prim pas îl constituie împovăzirea unui bloc de recepție — demodulare a luminii infra-

roșii modulate în audiofrecvență, pentru a putea testa și optimiza cu ajutorul lui emițătorul.

(CONTINUARE ÎN NR. VIITOR)





EQ-YO

TRANSCEIVER SINCRODINĂ DKM-302

Ing. ANDRIAN NICOLAE

Transceiverul DKM-302 lucrează SSB în banda de 80 m, este destinat radioamatorilor începători, dar și radioamatorilor avansați care vor avea satisfacții în urma utilizării acestui aparat.

Atributele principale ale transceiverului sînt:

- simplitate;
- materiale ușor de procurat;
- componente electronice și electrice autohtone;
- mecanică ușor de abordat în condiții de amator;
- performanțe bune.

În ansamblu, este o schemă cu majoritatea componentelor uzuale, monoplacă, ușor de asamblat, gabarit redus, tensiune unică de alimentare exterioră și comutator emisie-recepție cu numai două contacte.

În schemă apar unele contribuții personale în ceea ce privește adaptarea între etaje, modul de utilizare a unor circuite integrate, realizarea

etajului final de emisie, utilizarea tranzistoarelor de joasă frecvență în etajele de radiofrecvență etc.

YO3YZ, YO3ANI și YO3BDP, prin ajutorul acordat la realizarea prototipului și testarea acestuia în trafic, au adus o contribuție hotărîtoare la reușita realizării acestui aparat.

Caracteristici tehnice principale:

RECEPȚIE

- sensibilitate: $\geq 0,3 \mu\text{V}$;
- selectivitate: 6 kHz;
- control ARF: $\leq 60 \text{ dB}$;
- amplifica ϵ RF: $\leq 50 \text{ dB}$;

EMISIE

- atenuare purtător: $\geq 35 \text{ dB}$;
- input: cca 20 W;

ALIMENTARE: 30 V/1 A;

DIMENSIUNI MINIME: 285 x 180 x 100 mm;

INTRARE-IEȘIRE: simetrică (asimetrică), 75 Ω .

FUNCȚIONARE

Transceiverul DKM-302 are în

componența sa 8 blocuri funcționale, din care doar unul (VFO-ul) este comun la recepție și emisie. S-a ales soluția utilizării unui lanț de recepție separat de cel de emisie pentru a simplifica astfel comutarea emisie-recepție; ușurința în testare rezultă și datorită utilizării unor mixere integrate, care în cazul de față nu îndeplinesc condițiile pentru a fi folosite la emisie, cît și la recepție.

Semnalul provenit din antenă este filtrat și amplificat în etajul A₁, după care se aplică la intrarea mixerului M₁. După demodulare, ajunge la intrarea etajului audio A₂, unde este adus la un nivel corespunzător audienței în difuzor.

La emisie, semnalul vocal provenit de la microfon este aplicat etajului A₃, unde se amplifică. În etajul M₂ se mixează cu semnalul VFO-ului. Semnalul rezultat este amplificat și filtrat în etajul A₄, după care se aplică etajului final în vederea obținerii puterii necesare la emisie.

Pe schema electrică se poate urmări modul de realizare a etajelor transceiverului.

Amplificatorul de radiofrecvență A₁ conține trei tranzistoare BC107 și trei circuite acordate, din care două se pot retușa prin intermediul unui condensator variabil dublu de 2 x 500 pF. Mixerul de recepție este conținut de o capsulă TAA661, care realizează un câștig de conversie. Avantajele acestui circuit constau în aceea că utilizează un semnal VFO de amplitudine mică și se comportă bine din punct de vedere al intermodulației. Semnalul audio furnizat este suficient pentru a fi preluat de un final de tipul TBA790 K sau orice alt tip asemănător.

VFO-ul are în componența sa trei tranzistoare BC107. T₄ și T₅ intră în componența unui oscilator Clapp, iar T₆ are rolul de separator. Pe lanțul de emisie este utilizat un circuit BA741 ca amplificator de microfon, după care semnalul este comprimat și limitat în vederea aplicării unui mixer echilibrat de tipul ROB025.

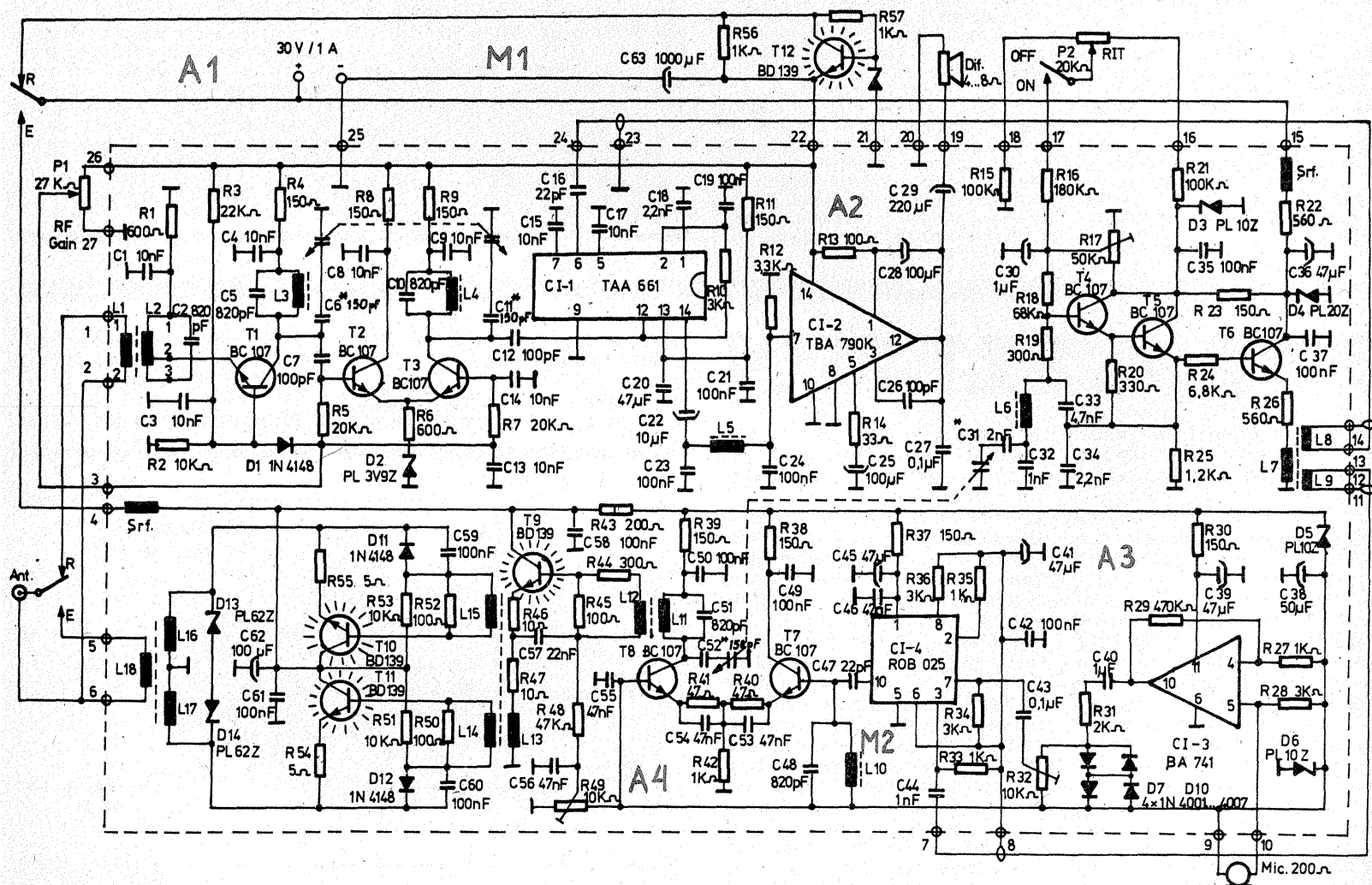
Preamplificatorul de emisie conține două tranzistoare BC107 cuplate prin emitor.

Finalul conține un tranzistor driver — T₉ și două finale — T₁₀ și T₁₁, toate de tipul BD139. O particularitate o constituie faptul că prin alegerea punctului de masă în colectoare a fost posibilă montarea pe același radiator, fără izolatoare. În acest mod nici radiofrecvența nu ajunge pe radiator și sînt împiedicate radiațiile parazite.

ASAMBLARE. TESTARE

Primele se fixează piesele mari care necesită prelucrări mecanice de prindere. Apoi se lipește componentele electronice. Bobinele L₁-L₂, L₃, L₄, L₆, L₇-L₈-L₉, L₁₀ și L₁₁-L₁₂ se realizează pe oale de ferită similare celor din partea de FI = 455... 470 kHz a receptoarelor industriale. L₇-L₈-L₉ se pot realiza și pe un tor de ferită avînd diametrul de 8... 10 mm.

L₁ conține 3 spire, L₂ are 10 spire cu priză la spira 3 dinspre capătul 1, L₃, L₄, L₁₀ și L₁₁ au cîte 10 spire, L₇ și L₉ cîte 12 spire, L₈ și L₉ cîte 4 spire, iar L₁₂ are 3 spire. Sîrma utilizată este CuEm cu diametrul de 0,25... 0,35 mm. Numărul exact de spire al bobinei L₆ se determină experimental și depinde de capacitatea maximă a condensatorului



Cv3, care poate avea orice valoare cuprinsă între 250 și 500 pF.

Bobina L₅ se realizează pe o oală de ferită cu A_L=300, bobinându-se 400 de spire din CuEm Ø=0,1 mm. Transformatorul driver (L₁₃ - L₁₄ - L₁₅) și transformatorul de ieșire (L₁₆ - L₁₇ - L₁₈) se realizează pe oale

de ferită cu A_L = 30... 100 și dimensiunile 18x(11... 14) mm. L₁₃ conține 20 de spire CuEm Ø=0,4... 0,5 mm, iar L₁₄ și L₁₅ câte 5 spire din aceeași sirmă. L₁₆ și L₁₇ au câte 10 spire din CuEm Ø = 0,45... 0,55 mm, iar L₁₈ conține 12 spire din CuEm Ø = 0,5... 0,65 mm.

Deoarece tensiunea de alimentare este unică (+30 V), pentru alimentarea circuitelor integrate din calea de recepție este necesară o stabilizare locală de 11 ± 13 V. Această funcție este îndeplinită de tranzistorul T₁₂. Circuitul stabilizator nu pune probleme deosebite și trebuie să func-

ționeze de la prima probă, dacă piesele componente nu sînt defecte și nu există erori de conectare.

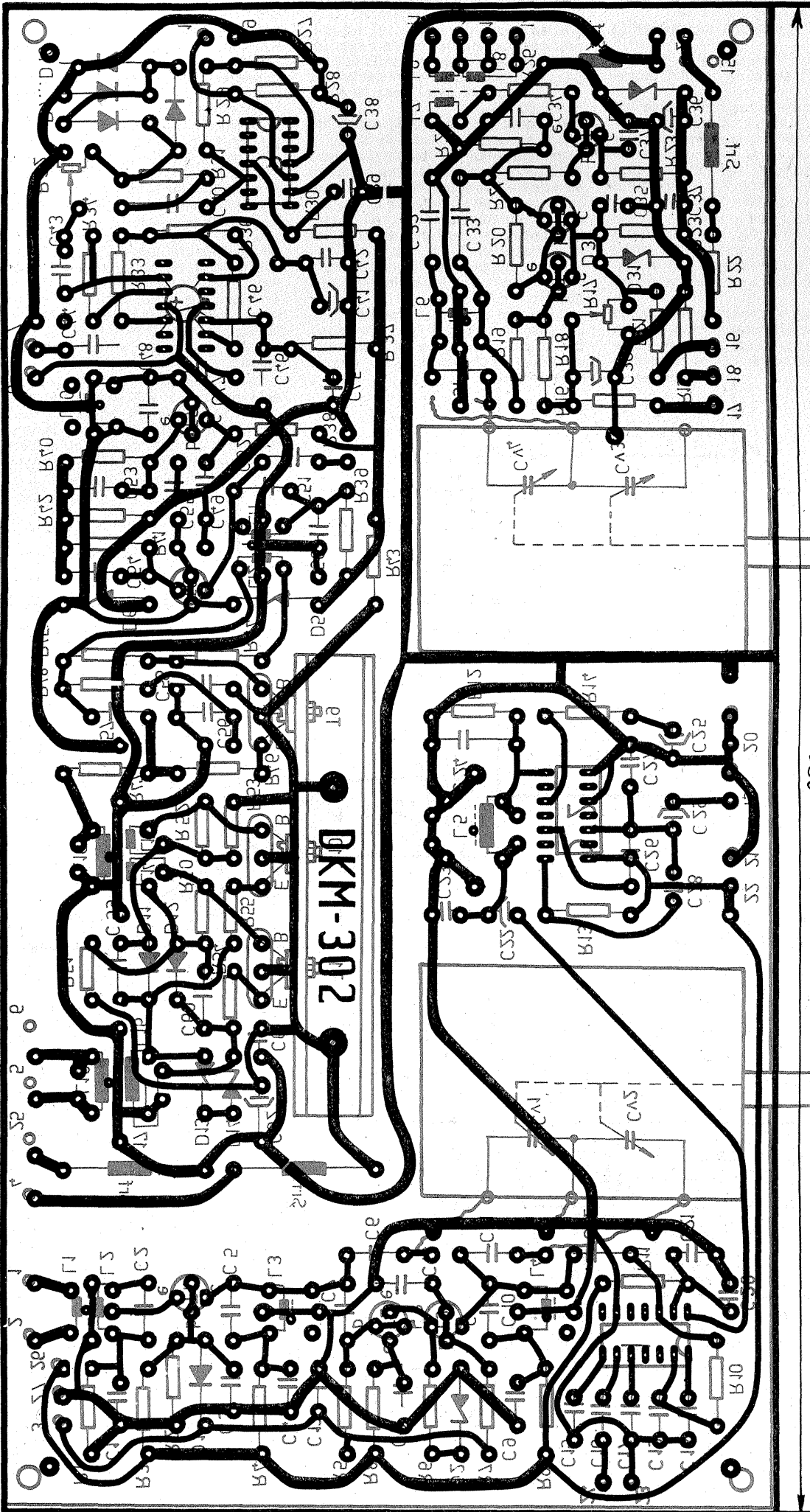
Tot montajul, cu excepția citorva componente, se realizează pe o placă de circuit simplu placat. Nu sînt necesare ecrane metalice între etaje.

În primul rînd se testează receptorul. Circuitele acordate L₂-C₂, L₃-C₅ și L₄-C₁₀ se aliniază astfel încît în banda 3,5-3,8 MHz să se obțină un câștig aproape constant. Bineînțeles că în fiecare punct al benzii ajustarea acordului se realizează din Cv1-Cv2, iar amplificarea se reglează din potențiometrul P₁. Aceste două moduri de control al câștigului sînt suficiente și nu mai este necesar un reglaj suplimentar de volum al audiției.

Reglarea inductanței L₆ se realizează astfel încît să existe o acoperire corectă a benzii de 3,5-3,8 MHz. Din R₁₇ se reglează polarizarea etajului. Dacă se dorește o plajă de reglaj diferită pentru RIT, se modifică adecvat elementele R₂₁, R₁₅ sau P₂.

La testarea emițătorului se utilizează un generator de joasă frecvență și un osciloscop. Se cuplează generatorul în locul microfonului și osciloscopul la capetele rezistenței semireglabile R₃₂. Se fixează generatorul pe o poziție corespunzătoare unui semnal de cca 1 V indicat de osciloscop.

Pe borna de antenă se cuplează o rezistență de sarcină de 75Ω/20... 30 W. Osciloscopul se cuplează paralel pe rezistența de sarcină. Acordul inductanțelor L₁₀ și L₁₁ se realizează astfel încît să existe o neliniaritate de maximum 3 dB în banda 3,5... 3,8 MHz. Din R₃₂ se reglează nivelul excitației, iar din R₄₉ polarizarea driverului T₉, care trebuie să prezinte un curent de repaus de cca 20... 30 mA.



ECHIVALENȚE

BC549A	KT3102D	BD183	KT819GM
BC549B	KT3102D	BD201	KT819B
BC549C	KT3102E	BD202	KT818B
BC557	KT361D	BD203	KT819G
BC559	KT645A	BD204	KT805A
BCP627A	KT373B	BD216	KT837H
BCP627C	KT373B	BD223	KT837F
BCP628A	KT373A	BD224	KT837C
BCP628B	KT373B	BD225	KT943A
BCP628C	KT373B	BD226	KT939B
BCW47	KT373A	BD227	KT943B
BCW48	KT373B, KT373B	BD228	KT636D
BCW49	KT373B, KT373B	BD229	KT943B
BCW57	KT361E	BD230	KT817B
BCW58	KT361E	BD233	KT816B
BCW62A	KT361F	BD234	KT817B
BCW63A	KT361F	BD235	KT816B
BCY11	KT208E	BD236	KT817B
BCY30	KT208D	BD237	KT816G
BCY31	KT208J	BD238	KT817B
BCY32	KT208M	BD239	KT817B
BCY33	KT208M	BD239A	KT817B
BCY34	KT208F	BD240	KT816B
BCY38	KT208F	BD240A	KT819G
BCY39	KT501D	BD240B	KT818AM
BCY40	KT501M	BD246	KT809A
BCY42	KT501J	BD253	KT819A
BCY43	KT312B	BD291	KT818A
BCY44	KT312B	BD292	KT819B
BCY54	KT501K	BD293	KT818B
BCY56	KT312B	BD294	KT819B
BCY58A	KT342E	BD295	KT818B
BCY58B	KT342E	BD296	KT943A
BCY58C	KT342E	BD375	KT943B
BCY58D	KT342E	BD377	KT943H
BCY59	KT342B	BD379	KT944B
BCY69	KT342B	BD386	KT817A
BCY79	KT3102A	BD433	KT816A
BCY90	KT208E	BD434	KT816A
BCY90B	KT208E	BD435	KT817A
BCY91	KT501G	BD436	KT816A
BCY91B	KT208E	BD437	KT817B
BCY92	KT501F	BD438	KT816B
BCY92B	KT208E	BD439	KT817B
BCY93	KT501J	BD440	KT816B
BCY93B	KT208K	BD441	KT817G
BCY94	KT501J	BD442	KT816G
BCY94B	KT208K	BD466	KT973B
BCY95	KT501J	BD611	KT817A
BCY95B	KT208K	BD612	KT816A
BD109	KT501M	BD613	KT817A
BD123	KT805B	BD614	KT816A
BD131	KT902A	BD615	KT817B
BD135-6	KT943B	BD616	KT816B
BD136	KT943B	BD617	KT817B
BD137-6	KT343A	BD618	KT816B
BD138	KT626A	BD619	KT817G
BD139-6	KT928E	BD620	KT816G
BD140	KT943B	BD813	KT815A
BD148	KT626B	BD814	KT814A
BD149	KT805B	BD815	KT815B
BD165	KT805B	BD816	KT814B
BD166	KT805B	BD817	KT815B
BD167	KT815A	BD818	KT814T
BD168	KT814B	BD819	KT815A
BD169	KT815B	BD826	KT639B
BD170	KT814B	BD827	KT646A
BD175	KT815B	BD828	KT639D
BD176	KT814T	BD840	KT639B
BD177	KT817B	BD842	KT639D
BD178	KT816B	BD933	KT817B
BD179	KT817G	BD934	KT816B
BD180	KT816G	BD935	KT817B
BD181	KT8195M	BD936	KT816B
BD182	KT8195M	BD937	KT817G
	KT8195M	BD938	KT816G
		BD944	KT837F

AMPLIFICATOARE AF

Ing. BARBU POPESCU

Performanțele unui amplificator AF sînt evaluate de obicei în funcție de următorii parametri:

- caracteristica amplitudine-frecvență;
- puterea nominală;
- coeficientul de distorsiuni de intermodulație;
- coeficientul de distorsiuni armonice;
- raportul semnal-zgomot.

Este cunoscut faptul că de multe ori performanțele amplificatorului AF nu conduc la o apreciere justă a calității sale.

Deseori apar situații paradoxale în care un amplificator AF cu tuburi electronice cu performanțe mai modeste „sună” mai bine decît unul cu tranzistoare cu performanțe mai ridicate.

În funcție de calitatea amplificatoarelor și, bineînțeles, a celorlalte componente ale lanțului audio, sunetul „tranzistorizat” se manifestă sub forma distorsionării armonice superioare ale spectrului audio, prin

se datorează în mare parte funcției de transfer, structurii amplificatorului etc.

Distorsiunile în regim static se împart în distorsiuni armonice, care constau în denaturarea formei semnalului de ieșire, și distorsiuni de intermodulație, care se manifestă prin îmbogățirea spectrului semnalului de ieșire cu combinații ale armoniceilor semnalului de intrare.

Distorsiunile de intermodulație statice pot fi de amplitudine și de fază și constau în modularea în amplitudine și fază a semnalului de intrare.

Distorsiunile dinamice armonice se referă la alterarea formei semnalului de ieșire atunci cînd amplitudinea semnalului de intrare depășește

urmează, folosind pentru aceasta schema amplificatorului prezentat în figura 2.

Teoria arată că banda de frecvență se mărește de k ori în timp ce distorsiunile, instabilitatea coeficientului de amplificare, zgomotul propriu se micșorează de k ori, unde k este coeficientul de reacție negativă. Pentru a se obține un coeficient redus de distorsiuni, coeficientul de reacție negativă este mărit la 40 și chiar 60 dB.

În figura 3 frecvența f_1 reprezintă limita superioară a benzii audio a amplificatorului în buclă deschisă (fără reacție negativă) și este dictată de valoarea condensatorului C_4 și de coeficientul de amplificare al etajului echipat cu tranzistorul T_2 (C_4 apare multiplicat de β ori prin efect Miller între baza lui T_2 și masă).

Pentru asigurarea stabilității, frecvența f_1 se micșorează pînă la 400—500 Hz.

Se obține astfel la frecvențe medii un coeficient redus de distorsiuni, dar o dată cu creșterea frecvenței valoarea coeficientului de reacție

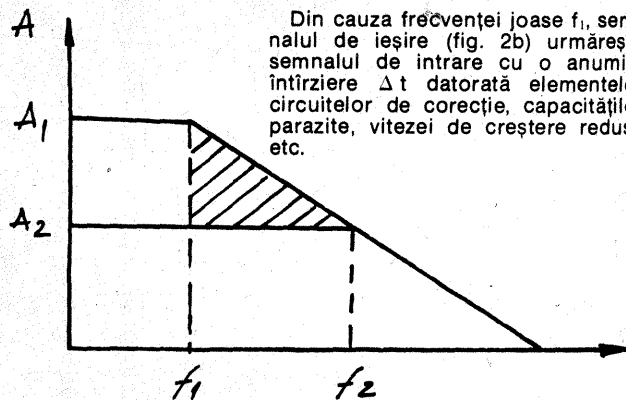
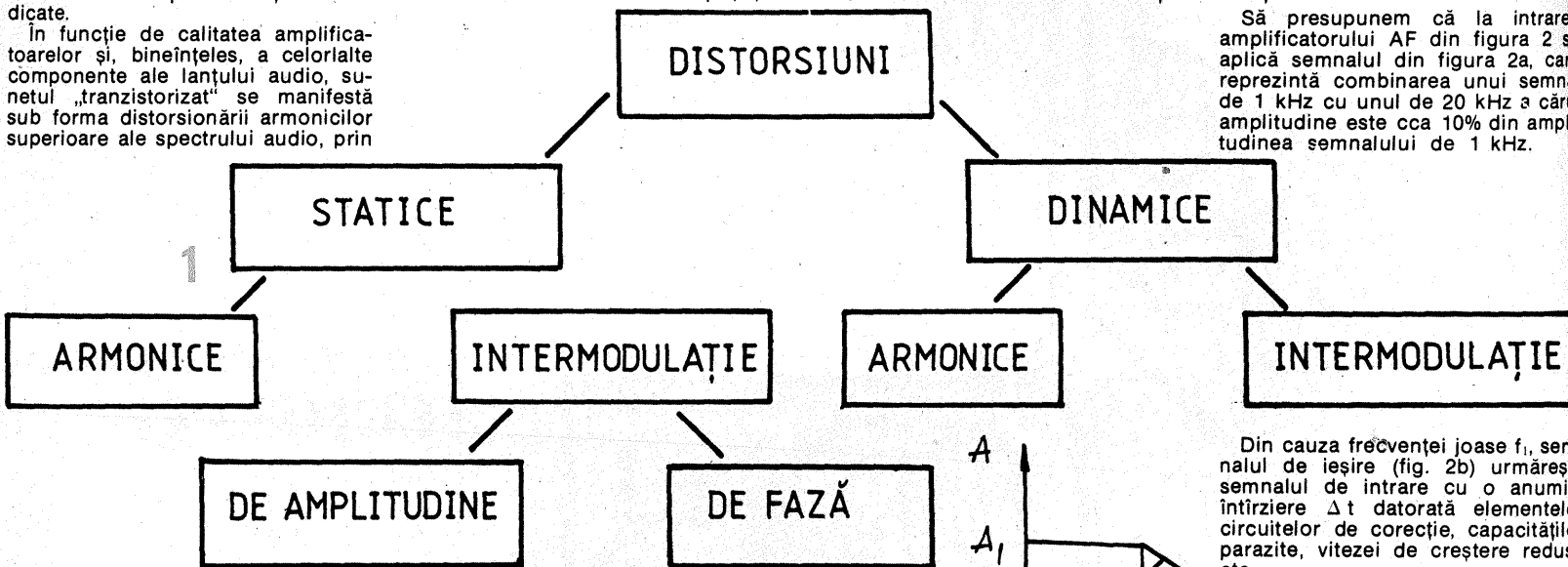
A_2 = amplificarea în buclă închisă; f_1 = limita benzii audio în buclă deschisă; f_2 = limita benzii audio în buclă închisă; $k = A_1 - A_2$ = coeficientul de reacție negativă.

Pe de altă parte, sensibilitatea auzului crește o dată cu creșterea ordinului armoniceilor, această creștere fiind proporțională cu $n^2/4$, unde $n = 2 \dots 11$ = ordinul armoniciilor.

Fenomenul este cu atît mai supărător cu cît la ieșirea unui amplificator AF cu tranzistoare sînt prezente mai multe armonici, pînă la armonica a 11-a, în timp ce la ieșirea unui amplificator cu tuburi electronice se regăesc doar armoniciile de ordinul 2, 3 și 4.

O dată cu creșterea coeficientului de distorsiuni armonice crește și coeficientul de distorsiuni de intermodulație (acestea din urmă sînt de 3—4 ori mai mari decît cele armonice). Apare deci evidentă necesitatea micșorării la minimum a distorsiunilor armonice și de intermodulație.

Să presupunem că la intrarea amplificatorului AF din figura 2 se aplică semnalul din figura 2a, care reprezintă combinarea unui semnal de 1 kHz cu unul de 20 kHz a cărui amplitudine este cca 10% din amplitudinea semnalului de 1 kHz.



o „transparență” insuficientă a componentelor de înaltă frecvență.

Un criteriu de bază care caracterizează un amplificator AF îl reprezintă natura și valoarea distorsiunilor introduse în lanțul audio.

Distorsiunile unui amplificator AF cu tranzistoare se pot clasifica pe baza organigramei din figura 1.

Distorsiunile statice se datorează neliniarității caracteristicilor funcțiilor de transfer ale etajelor amplificatorului AF.

Distorsiunile dinamice apar la creșterea rapidă a semnalului aplicat la intrarea amplificatorului AF și

niște valori critice dictate de viteza de creștere a semnalului de ieșire al amplificatorului (slew-rate).

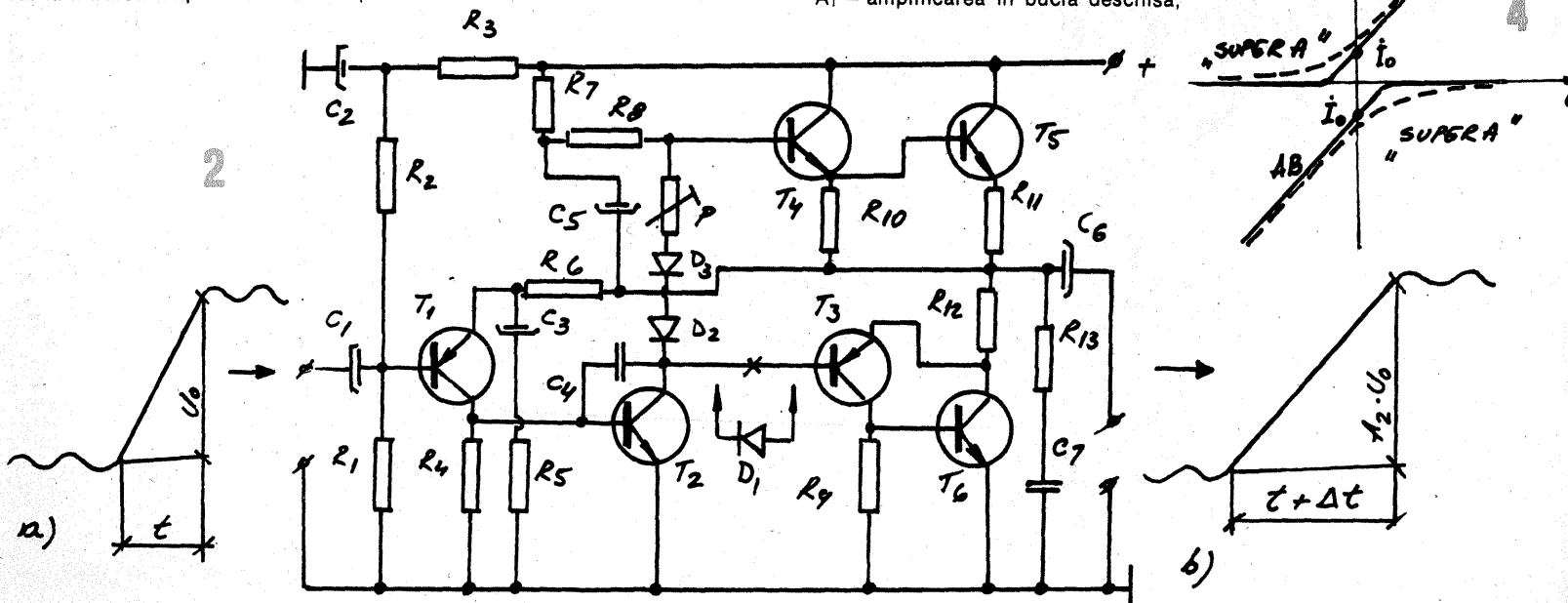
În plus, dacă la intrarea amplificatorului AF sînt prezente semnale de altă frecvență (și bineînțeles și armonicele lor), sînt îndeplinite și condițiile pentru apariția distorsiunilor de intermodulație în regim dinamic.

Trebuie subliniat faptul că toate aceste distorsiuni sînt interdependente.

Modul de apariție și metodele de eliminare vor fi prezentate în cele ce

negativă scade și distorsiunile cresc; fenomenul este ilustrat în figura 3, unde:

A_1 = amplificarea în buclă deschisă;



AMPLIFICATOARE DE ANTENĂ

Ing. ALEXANDRU OPREA

Un televizor bun, lucrând la parametrii maximi, are nevoie la intrarea de antenă de un semnal de cel puțin $200 \mu\text{V}/75 \Omega$, condiție ca imaginea să nu fie zgomotoasă. În mod practic, receptoarele de televiziune din exploatare sînt uzate în proporție de pînă la 50%, așa încît semnalul necesar la intrare trebuie să fie mai mare de $200 \mu\text{V}$. Din aceste motive apare necesitatea folosirii amplificatoarelor de antenă, ele urmînd a fi instalate chiar lîngă antenă. Astfel se mărește raportul semnal-zgomot, îmbunătățindu-se calitatea imaginii la recepție.

Utilizarea amplificatoarelor individuale de antenă este o soluție necesară acolo unde semnalul de televiziune este slab, la distanțe mari de emițător și în condiții de relief accidentat. Se poate afirma cu siguranță că un bun amplificator de antenă, montat imediat lîngă antenă și folosit cu cablu coaxial de coborîre, permite recepționarea emisiunilor naționale de televiziune în orice loc din țară.

În continuare voi prezenta construcția și reglarea unor amplificatoare individuale de antenă, accesibile oricărui radioamator.

1. AMPLIFICATOARE DE ANTENĂ CU TRANZISTOARE MOS-FET

Folosirea tranzistoarelor MOS-FET permite construirea unor amplificatoare de antenă cu perfor-

manțe deosebite și relativ ieftine. Tranzistoarele FET prezintă caracteristici care le apropie de performanțele tuburilor electronice. Astfel, au impedanță mare de intrare și sînt mult mai liniare decît tranzistoarele bipolare. Pentru utilizarea la frecvențe mari s-au realizat tranzistoare MOS-FET speciale cu zgomot redus și pantă mare în domeniile FIF și UIF.

Amplificatorul FIF este realizat cu tranzistorul MOS-FET cu două porți BF961 într-un montaj cu sursa la masă (fig. 1).

L_1, L_2 sînt bobine din CuEm — 5 spire bobinate în aer cu \varnothing interior = 5 mm; conductor cu $\varnothing = 0,8$ mm; priză la 2,5 spire.

Semnalul FIF dorit a fi recepționat este selectat cu circuitul de intrare L_1, C_1 și apoi aplicat la poarta G_1 a tranzistorului. Amplificarea etajului este dată (controlată) de potențialul grilei G_2 față de masă. În cazul de față s-a ales o valoare de aproximativ +2 V, suficientă pentru a asigura un cîștig superior valorii de 22 dB (22 ± 25 dB). Semnalul amplificat este preluat de circuitul de sarcină acordat L_2, C_2 și aplicat prin intermediul condensatorului C_5 la borna de antenă a televizorului.

Amplificatorul UIF are o schemă și funcționare asemănătoare, cu deosebirea că în locul bobinelor L_1, L_2 vom avea două „linii” notate, respectiv, tot cu L_1, L_2 , iar tranzistorul va fi BF960 (fig. 2).

L_1, L_2 sînt linii din CuEm \varnothing 1,5 mm, de lungime $l = 20$ mm.

Pentru a permite o asamblare și depanare ușoară, dar și din considerente de funcționare, montajele se realizează în aer.

Vom începe prin realizarea carcasei. Se poate folosi în acest scop tablă cositorită de 0,5—1 mm (de la tăvile de copt din comerț) sau dublu placat din cupru de grosimea ≤ 1 mm. Carcasa are dimensiuni comune pentru ambele amplificatoare (FIF și UIF). Cu ajutorul unui foarfece de tăiat tablă și al unei mașini de găurit vom realiza următoarele repere:

- capacele cutiei, conform figurii 3;
- trei pereți transversali, conform figurii 4;
- doi pereți longitudinali, conform figurii 5.

Carcasa (cutia) va fi asamblată prin lipirea pereților pe capacul găurit, ca în figura 6.

Lipirea componentelor va începe cu cea a condensatoarelor trimer C_1 și C_2 montate în așa fel încît șurubul de reglaj să iasă în afara carcasei (fig. 7).

Picioarusele 1 și 3 se îndepărtează pînă ating pereții carcasei și se fixează de aceasta prin lipire.

Celelalte componente vor fi lipite ca în figura 8 pentru amplificatorul FIF și ca în figura 9 pentru amplificatorul UIF.

Conectarea mufelor de intrare (mufă mamă + coaxial) și de ieșire (mufă tată + coaxial) se va face prin lipire, avînd grijă ca tresa cablului să se pună în patru puncte la carcasă (masa amplificatorului). În acest fel realizăm un contact electric bun, dar și o rigidizare corespunzătoare a ansamblului.

Urmează lipirea firelor de alimentare: cel de plus la condensatorul de trecere C_6 , iar cel de minus la capacul amplificatorului în imediată apropiere de condensatorul de trecere. Se recomandă ca aceste fire să fie cît mai flexibile pentru a permite o manipulare ușoară în exploatare.

După verificarea poziționării pieselor conform figurilor 8 și 9 și a valorilor pieselor conform figurilor 1 și 2, se trece la măsurarea regimului de lucru în curent continuu. Cu un voltmetru de curent continuu se va măsura față de masă tensiunea la poarta G_2 a tranzistorului. O valoare în jur de +2 V este cea corespunzătoare. Se măsoară apoi consumul amplificatorului, care trebuie să fie aproximativ 10 mA pentru cel FIF și 5 ± 10 mA pentru cel UIF.

După verificarea în curent continuu se trece la reglarea amplificatorului. Procedura este următoarea:

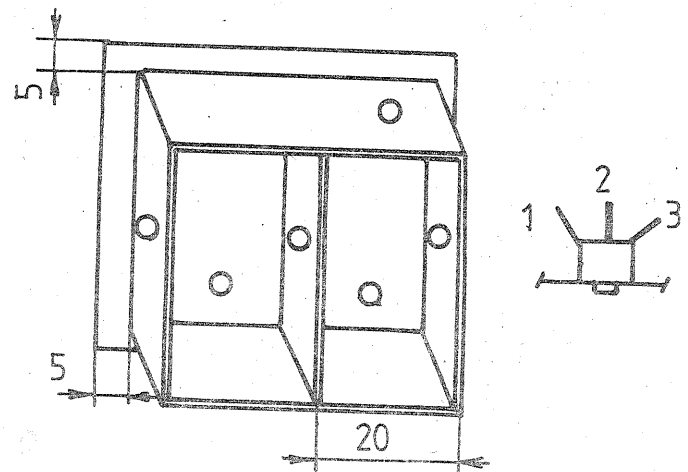
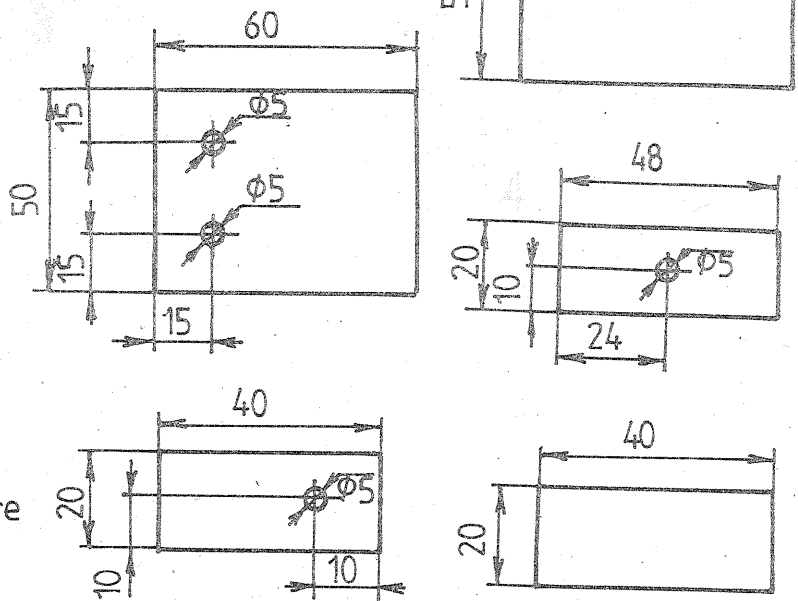
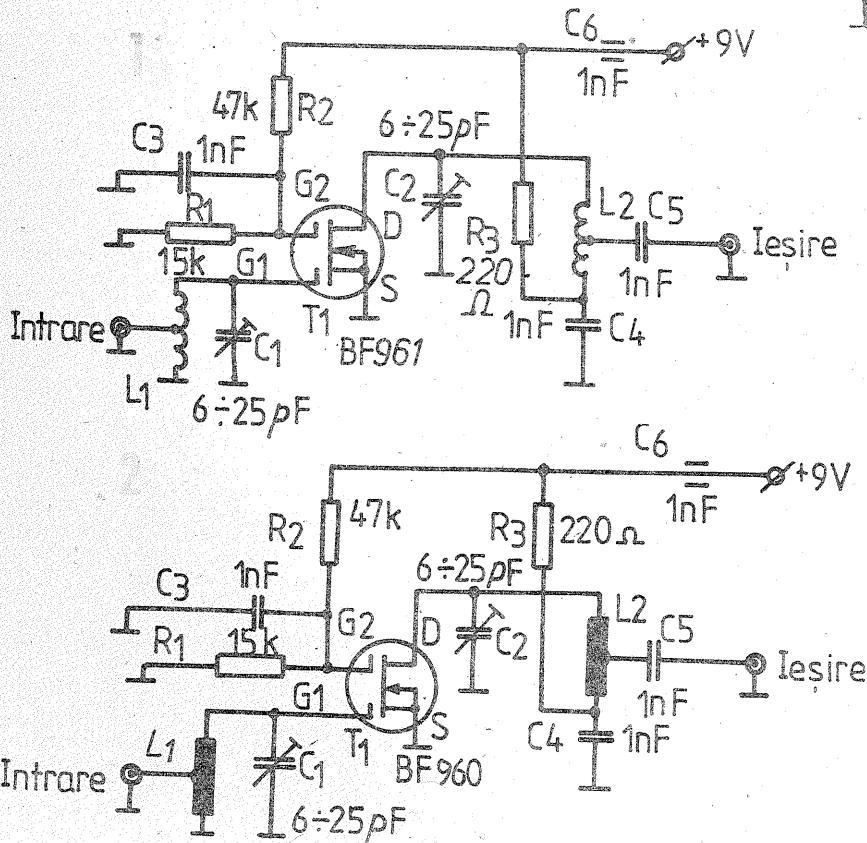
- se introduce fișa antenei la intrarea amplificatorului, iar fișa amplificatorului la borna de 75Ω a televizorului;
- se alimentează conform schemei electrice;
- cu ajutorul unei șurubelnițe nemagnetice se reglează trimerele în ordinea C_1, C_2 pînă la obținerea imaginii optime și a sunetului maxim pe canalul care ne interesează.

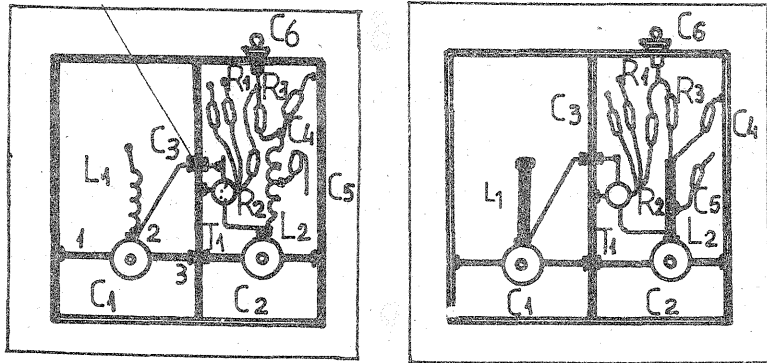
RECOMANDĂRI SPECIALE

Atenție la calitatea condensatoarelor trimer: prin folosirea unor trimere necorespunzătoare (ca frecvență sau cu pierderi mari) compromitem de la început reușita construcției.

Pentru montajul din figura 8, după reglarea sus menționată vom scurt-circuita cu șurubelnița ultimele spire dinspre masă ale bobinei L_1 . Dacă se observă o îmbunătățire a calității imaginii, le vom apropia și lipi cu cositor; refacem reglajul.

La montarea tranzistorului îndoiți





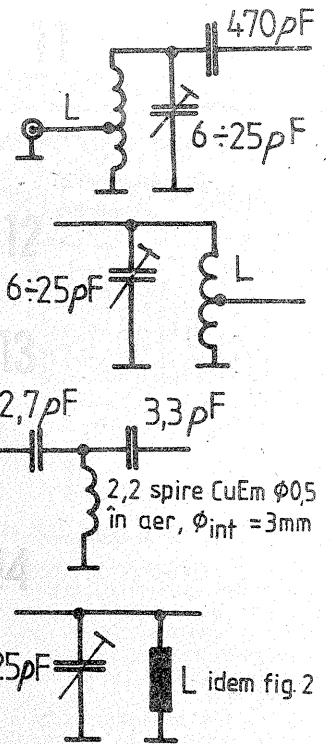
2. AMPLIFICATOARE DE ANTENĂ CU TRANZISTOARE BIPO-LARE

Celor care mai preferă încă tranzistoarele bipolare în acest domeniu le prezint pe scurt un amplificator ce are un zgomot mai mare decât cele anterioare (dezavantaj), dar un câștig mai mare (putând atinge 28 dB — avantaj).

Figura 10 prezintă schema electrică a acestui amplificator. Pentru domeniul FIF circuitul de intrare va avea configurația din figura 11, iar circuitul de sarcină acordat configurația din figura 12.

Bobinele sînt identice cu cele din figura 1.

Pentru domeniul UIF circuitul de



form schemei din figura 10.

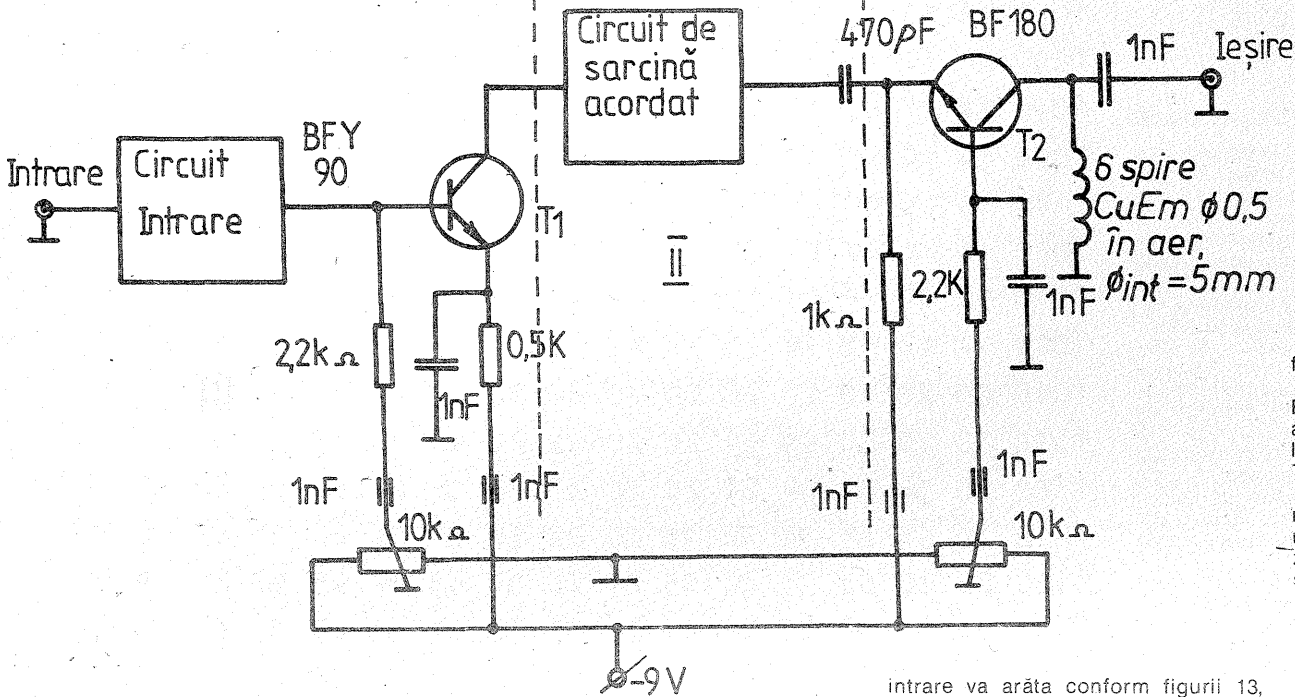
Trebuie știut că tranzistorul BFY90 dictează calitatea (câștigul) acestui amplificator. Rezultate excelente dă cel de fabricație SGS sau TFK.

Pentru a micșora zgomotul, în domeniul FIF și în prima parte a domeniului UIF putem folosi în locul tranzistorului BF180 un tranzistor BF200 selecționat.

Dacă se alege cu grijă piesele și se respectă întocmai indicațiile date, montajele funcționează de la prima încercare, oferind o satisfacție deplină.

BIBLIOGRAFIE

1. Colecția revistei „Tehnum”
2. A. Gămulescu — Construcții de amplificatoare tranzistorizate pentru antene de televiziune, Ed. Tehnică, 1974
3. M. Bășoiu, C. Costache — 20 scheme electronice pentru amatori, Ed. Tehnică, 1979.



terminalul G_2 înspre capacul carcasei (vezi figurile 8 și 9). În acest fel putem lipi mai comod grupul R_1, C_3 .

Rezistoarele folosite vor fi numai cu peliculă de carbon la puterea de 0,25 sau 0,5 W.

În final se lipește capacul al doilea și se retușează reglajul, încercîndu-se obținerea unei imagini de bună calitate concomitent cu un su-

net optim.

OBSERVAȚIE. Modificînd corespunzător circuitele oscilante (sau folosindu-le chiar pe cele indicate), amplificatoarele pot fi folosite cu rezultate excelente și în banda de ultrascurte radio (65 ÷ 73 MHz, 88 ÷ 104 MHz) sau în benzile de ultrascurte ale radioamatorilor.

intrare va arăta conform figurii 13, iar circuitul de sarcină acordat conform figurii 14.

Celor care au înțeles construcția carcasei din figura 6 le va fi ușor să proiecteze în funcție de stilul propriu de lucru (mai „aerisit” sau mai „înghesuit”) o carcasă pentru amplificatorul din figura 10. Trebuie doar amintit că în acest caz vom avea trei compartimente ale carcasei în care componentele vor fi așezate con-

Dacă se dorește o calitate mai bună a imaginii la televizoarele cu C.I. trebuie să se bobineze un secundar suplimentar pentru filament, pe transformatorul TR702 (fig. 1).

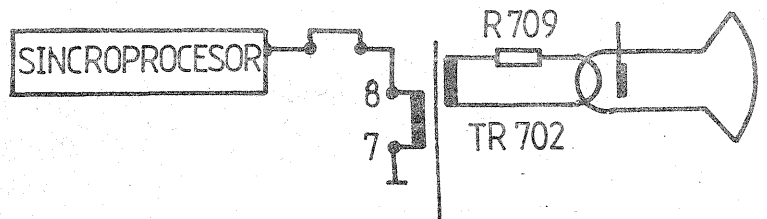
Operațiile sînt următoarele:
— se scoate transformatorul TR702 de pe placa cu circuit imprimat (este prins în 12 puncte și un șurub);

— se bobinează peste înfășurarea 7—8 o înfășurare pentru filament, de 6,5 spire cu \varnothing 0,4; acest bobinaj se

execută în aer, susținut de 6 basto-nase subțiri de 2 ÷ 2,5 mm din ma-terial izolant (nu are importanță sen-sul înfășurării);

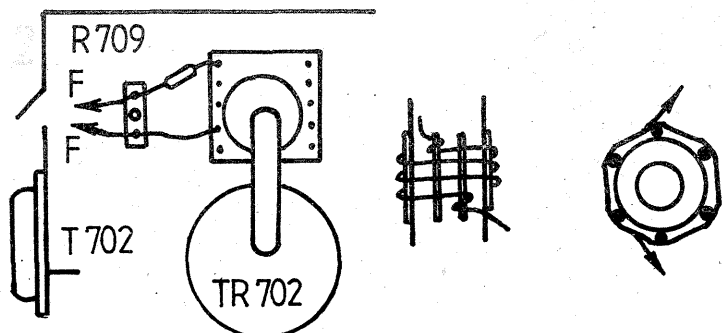
— se scoate rezistența R709, fiind înlocuită cu un ștrap; lingă transfor-matorul TR702 se montează pe un suport înalt de cca 40 mm o plăcuță care susține firele pentru filament și rezistența R709.

Se obține o capacitate față de masă de cca 5—6 pF, care asigură o calitate bună a imaginii.



TRANZISTOARE

Typ	$V_{DS(max)}$ V	$I_{D(max)}$ A	$R_{DS(on)(max)}$ Ω	$P_{D(max)}$ W	$R_{thJC(max)}$ K/W	$g_{fs}(typ)$ S
BUZ17	50	32	0,04	83,3	1,5	12
BUZ18	50	37	0,03	83,3	1,5	12
BUZ27	100	26	0,06	83,3	1,5	10
BUZ28		18	0,10	70	1,78	8
BUZ38	200	18	0,12	83,3	1,5	7,5
BUZ67	400	9,6	0,40	83,3	1,5	4,5
BUZ48		7,8	0,60	83,3	1,5	4,0
BUZ48A	500	6,8	0,80	83,3	1,5	4,0
BUZ88	800	4,3	2,00	83,3	1,5	3,0
BUZ88A		5,0	1,50	83,3	1,5	3,0
BUZ57A	1000	2,5	5,00	70,0	1,78	1,5
BUZ58		4,3	2,00	83,3	1,5	2,0
BUZ58A		3,7	2,60	83,3	1,5	2,0




```

f220 54 29 20 20 20 20 2a 20 6c 69 74 65 72 61 20 20
f230 74 0d 20 20 20 20 20 20 20 2a 20 20 4f 55 54 3d
f240 20 63 74 6c 2f 73 20 20 2a 20 4f 55 54 20 54 35
f250 31 3d 20 6f 72 69 63 65 20 43 48 41 00 20 41 64
f260 72 65 73 61 20 64 65 20 53 54 41 52 54 20 70 74
f270 72 20 7a 6f 6e 61 20 64 65 20 74 69 70 61 72 69
f280 74 3f 28 68 65 78 29 00 20 20 20 20 20 20 20 20
f290 20 20 20 20 20 20 20 20 20 20 20 20 20 20 20 20
f2a0 20 20 20 20 a0 d4 b5 b1 ae b1 a0 a0 cf ce a0 00
f2b0 20 76 20 69 20 74 20 65 20 7a 20 61 20 20 54 35
f2c0 31 2e 31 2e 2e 2e 2e 6c 61 20 67 61 72 61 6a 00
f2d0 21 a1 f4 cd 48 00 21 52 f3 cd 80 03 cd db 01 ff
f2e0 be 3b cd ac 01 cd ge 01 cd 45 00 21 5d f2 cd 48
f2f0 00 21 00 f8 22 33 ff 3e 01 32 0b ff 06 04 cd db
f300 01 cd 70 01 05 c2 fe f2 3e 3b cd 70 01 11 00 f8
f310 cd b8 00 22 e0 f2 21 88 f2 cd 48 00 cd ge 01 3a
f320 ab f3 cd be f3 cd 7c f3 cd 7c f3 01 00 00 2a e0
f330 f2 7e cd 39 f3 23 c3 31 f3 fe 00 ca 69 f3 cd 1b
f340 02 cd d3 00 fe 0d cc 7c f3 fe 09 cc a3 f3 cd 63
f350 f0 c9 cd 1b 02 cd 63 f0 c9 e5 d5 c5 f5 21 1b ff
f360 7e e6 20 ca 76 f4 c3 69 f3 21 7b f4 cd 48 00 cd
f370 db 01 cd db 01 cd 7d 00 cd ac 01 ff 1e 02 cd 97
f380 f0 1e 08 cd 97 f0 cd cb 01 cd 59 f3 04 3e 1e b8
f390 cc 96 f3 3e 00 c9 01 05 00 cd 7c f3 0d c2 99 f3
f3a0 06 00 c9 cd c6 01 3e 20 c9 21 1b 35 21 ca f4 cd
f3b0 48 00 21 00 f8 22 33 ff cd db 01 32 ab f3 fe 34
f3c0 ca d8 f3 fe 35 ca e2 f3 fe 36 ca ec f3 fe 37 ca
f3d0 f6 f3 cd 3c 00 c3 ac f3 11 09 19 21 0a f4 cd 03
f3e0 f4 c9 11 19 17 21 1a f4 cd 03 f4 c9 11 32 14 21
f3f0 2a f4 cd 03 f4 c9 11 46 11 21 3a f4 cd 03 f4 c9
f400 cd a2 f0 cd 5a f4 cd 65 f4 c9 20 20 20 20 34 35
f410 20 42 61 75 64 73 2e 2e 2e 00 20 20 20 20 35 30
f420 20 42 61 75 64 73 2e 2e 2e 00 20 20 20 20 36 30
f430 20 42 61 75 64 73 2e 2e 2e 00 20 20 20 20 37 35
f440 20 42 61 75 64 73 2e 2e 2e 00 20 20 20 20 53 20
f450 54 20 4f 20 50 20 2e 2e 2e 00 7e cd 70 01 fe 00
f460 c8 23 c3 5a f4 eb cd 72 03 3e 40 d3 31 3e 82 d3
f470 31 3e 27 d3 31 c9 f1 c1 d1 e1 c9 20 20 53 20 46
f480 20 49 20 52 20 53 20 49 20 54 20 2e 2e 2e 6f 75
f490 74 20 63 75 20 6f 72 69 63 65 20 43 48 41 20 21
f4a0 00 20 73 20 65 20 74 20 61 20 74 20 20 4f 56 45
f4b0 43 54 20 21 2e 2e 2e 6f 75 74 20 63 75 20 6f 72
f4c0 69 63 65 20 43 48 41 20 21 00 20 76 20 69 20 74
f4d0 20 65 20 7a 20 61 20 20 54 35 31 2e 31 2e 2e 2e
f4e0 2e 6c 61 20 67 61 72 61 6a 20 20 20 20 20 20
f4f0 20 20 20 20 20 62 79 20 79 6f 32 69 73 00 21 00
f500 f0 06 13 70 23 70 fe f5 c2 03 f5 ff 00 00 00 00
e000 21 00 f0 16 00 7e 82 57 7d fe ff ca 12 e0 23 c3
e010 05 e0 cd ac 01 3e 3d cd cd 01 7a cd 38 02 ff ff

```

Blocul care dă la sumare un rezultat diferit de cel tabelat conține cel puțin o eroare!

Ansamblul interfeței L/B881 cu T510 poate fi utilizat pentru tipărirea conținutului memoriilor în hexa (vezi exemplul codului obiect T510), a textelor editate cu editorul — cu comanda P, a altor texte depuse în diferite zone de memorie, a tabelor cu simboluri rezultate după o asamblare cu comanda AP etc. Poate fi utilizat ca o extensie a interpretorului BASIC (*micro* V2.1S), fiind apelabil cu comanda BAUD urmată de prima cifră semnificativă a vitezei în bauds (BAUD 5), revenirea la normal cu BAUD 0 etc.

Un exemplu de utilizare pentru tipărirea datelor orbitale de la OSCAR 10 este concludent pentru utilitatea „hardcopy”-ului!

CALCULUL FACTORULUI DE ZGOMOT

Fiz. DRAGOȘ FĂLIE

Programul calculează factorul de zgomot global al unui lanț de dispozitive conectate în cascadă dacă se introduc factorii de zgomot și amplificările fiecărui dispozitiv în parte, exprimate în decibeli.

Factorul de zgomot global al unui lanț de dispozitive conectate în serie este dat de formula lui Früs:

$$F = F_1 + \frac{F_2 - 1}{G_1} + \frac{F_3 - 1}{G_1 \cdot G_2} + \dots + \frac{F_n - 1}{G_1 \cdot G_2 \cdot \dots \cdot G_{n-1}} \quad (1)$$

Factorii de zgomot din relația de mai sus și amplificările sînt exprimați în rapoarte simple și nu în decibeli.

Pentru a calcula factorul de zgomot global trebuie mai întîi să transformăm din decibeli în rapoarte simple factorii de zgomot și amplificarea tuturor dispozitivelor din lanț folosind relațiile:

$$F_i = 10^{(F_i/10)} \text{ și } G_i = 10^{(G_i/10)} \quad (2)$$

unde F_i și G_i sînt factorul de zgomot și amplificarea dispozitivului i din lanț, exprimați în decibeli.

După ce înlocuim toți factorii F_i și G_i în relația (1), calculăm factorul de zgomot global F , pe care în mod uzual îl exprimăm în decibeli: $F = 10 \log F$

Programul propus calculează factorul de zgomot total pentru șase dispozitive conectate în cascadă. Pentru fiecare dispozitiv trebuie introdus factorul de zgomot F și amplificarea G exprimați în decibeli. După ce s-au introdus cele șase cupluri de valori se afișează factorul de zgomot și amplificarea globală, exprimați tot în decibeli.

Dacă în lanț sînt mai puține dispozitive, atunci pentru dispozitivele lipsă se introduc $F=0$ și $G=0$. Dacă aveți un lanț format din mai mult de șase dispozitive, atunci continuați pe rîndul următor introducînd ca primă valoare a lui F și G valorile afișate anterior în coloana TOTAL și continuînd cu datele celorlalte dispozitive.

Valorile dispozitivelor și rezultatele sînt tipărite într-un tablou pentru a se compara ușor diferitele situații.

```

10 FOR i=20 TO 176 STEP 24
20 PLOT 0,1: DRAW 255,0
30 NEXT i
40 FOR i=20 TO 240 STEP 32
50 PLOT i,0: DRAW 0,175
60 NEXT i
70 FOR i=4 TO 25 STEP 4
80 PRINT TAB i,1/4;"
90 NEXT i
100 PRINT " TOTAL"
110 FOR i=1 TO 7
120 PRINT "F" "G"
130 NEXT i
140 DIM f(6): DIM g(6)
150 FOR i=1 TO 7
160 LET f=0
170 FOR j=1 TO 6
180 INPUT "F=":f(j):"G=":g(j)
190 LET g=g+g(j)
200 PRINT AT 3*i-1,4*j-1:f(j)
210 PRINT AT 3*i,4*j-1:g(j)
220 LET f(j)=10*(f(j)/10)
230 LET g(j)=10*(g(j)/10)
240 NEXT j
250 LET f=f(1)+(f(2)-1)/g(1)+(f(3)-1)/g(2)/g(1)+(f(4)-1)/g(3)/g(2)/g(1)+
(f(5)-1)/g(4)/g(3)+
(f(6)-1)/g(5)/g(4)/g(3)/g(2)/g(1)
260 LET f=10*LN f/LN 10
270 PRINT AT 3*i-1,28:INT (10*f+
.5)/10
280 PRINT AT 3*i,28:g
290 NEXT i
300 COPY

```

(CONTINUARE ÎN PAG. 21)



AUTOTURISMELE "OLT CIT"

SERVICE

Dr. ing. TRAIAN CANTĂ

Elementele componente ale carburatorului sînt date în figura 7, vedere laterală în care: 1 — buşon de vizitare a sitei filtrante; 2 — racord conductă alimentară cu benzină de la pompă; 3 — racord conductă retur la rezervorul de benzină; 4 — căpăcele de sigilare; 5, 6 — pirghie de acţionare ax treapta a II-a; 7 — DASH-POT (dispozitiv de amortizare a închiderii clapetei trepte I); 8 — etouffoir (supapă electromagnetice de închidere a alimentării circuitului de mers în gol, la „tăierea” contactului motor); în figura 8 — vedere laterală în care: 1 — şurub de reglaj al mersului încet în gol la CO constant (ralanţi); 2 — buşon de vizitare al sitei filtrante; 3 — şurub de reglaj progresiune (by-pass), sigilat de întreprinderea nr. 2 Braşov; 4 — supapă electromagnetice (etouffoir); 5 — şurub de dozaj pentru mersul în gol, cu capişoane de sigilare (negru — întreprinderea nr. 2 Braşov; roşu — Service); 6 — capişon de sigilare; 7 — dispozitiv DASH-POT; în figura 9 — vedere de sus, în care: 1 — jiclor ralanţi treapta I; 2 — puţul trepte I; 3 — jiclor îmbogăţitor; 4 — jiclor de CO constant; 5 — jiclor econostat; 6 — jiclor de progresiune by-pass treapta a II-a; 7 — capişon de inviolabilitate al şuruburilor de reglare a deschiderii clapetelor; 8 — puţul trepte a II-a; 9 — puţul pompei (supapă de aspiraţie; supapă de refluxare).

Se menţionează că lipsa acestor sigilii poate conduce la scoaterea carburatorului din garanţie. Totodată se recomandă ca să se evite pe cât posibil demontarea ansamblului carburator de pe colectorul de admisiune, cu ocazia diagnosticării defectelor manifestate de motor în timpul funcţionării. De asemenea este indicat ca reglajele carburatorului să se facă cu carburatorul montat pe motor.

Dacă se demontează carburatorul, după efectuarea lucrărilor de întreţinere şi reparaţii, este necesar ca la remontarea pe motor să se cureţe şi să se verifice plănuitatea suprafeţelor flanşei carburatorului, garniturii termoizolante şi flanşei colectorului de admisiune şi să se aplice soluţia de etanşare recomandată de constructor. În caz contrar, motorul va avea o funcţionare instabilă, carburatorul „trăgînd aer fals”.

Reglajele carburatoarelor pe motor. În timpul rodajului motorului, reglajul iniţial al mersului încet în gol este efectuat de către uzina constructoare Oltcit, la ieşirea de pe banda de montaj şi la probele de rulare pe pistă a autoturismului. Reglajul se efectuează cu ajutorul şurubului 1 de asigurare a conţinutului de CO constant, montat pe capacul

carburatorului şi al şurubului de dozaj 5, montat în flanşa corpului carburatorului în dreptul camerei de amestec a primei trepte (fig. 8). La efectuarea acestui reglaj, la nivel de ansamblu motor trebuie să se respecte parametrii prevăzuţi în tabelul 3.

Observaţie. Este foarte importantă precizia indicaţiilor analizatoarelor de gaze, deoarece, în caz contrar, reglajele efectuate la nivelul carbura-

toarelor vor fi eronate, conducînd astfel la un consum de benzină mărit sau la diverse anomalii în exploatare.

După efectuarea reglajului de mers încet în gol, şurubul de reglaj 5 este sigilat cu ajutorul capişonului 6 (fig. 8). Acest reglaj trebuie supravegheat permanent cu ocazia asis-

tenţei tehnice Service în perioada de garanţie a autoturismului şi trebuie corectat pentru respectarea turaţiei şi a conţinuturilor de CO şi CO₂, pe măsură ce motorul se rodează (se lasă), după care se sigilează cu sigiliul de culoare roşie specific unităţilor Service.

Este interzis a se îndepărta căpăcelele de sigilare şi a se acţiona asupra şuruburilor de deschidere a clapetelor de admisiune, pentru a efectua reglajul mersului încet în gol, deoarece aceasta poate conduce la o **decalibrare gravă a carburatorului**, cu consecinţe neplăcute asupra consumului de benzină, ce poate creşte cu 50 pînă la 100%. Se menţionează că o asemenea intervenţie scoate carburatorul din garanţie.

Observaţie. Reglajul deschiderii prealabile a clapetelor de admisiune se face de către uzina constructoare a carburatorului (SOLEX sau întreprinderea nr. 2 Braşov), pe standuri speciale, pe care se măsoară debitul de aer la fiecare din treptele de funcţionare ale carburatorului (această operaţiune nu se poate face în unităţile Service, din care motiv şuruburile sînt sigilate).

În acelaşi timp este interzis a se acţiona asupra şurubului by-pass, de progresiune 3 (fig.8), deoarece poate provoca o creştere a consumului de benzină şi, totodată, o funcţionare instabilă în regimul de progresiune (de trecere la mersul

încet în gol spre regimurile de mers normal).

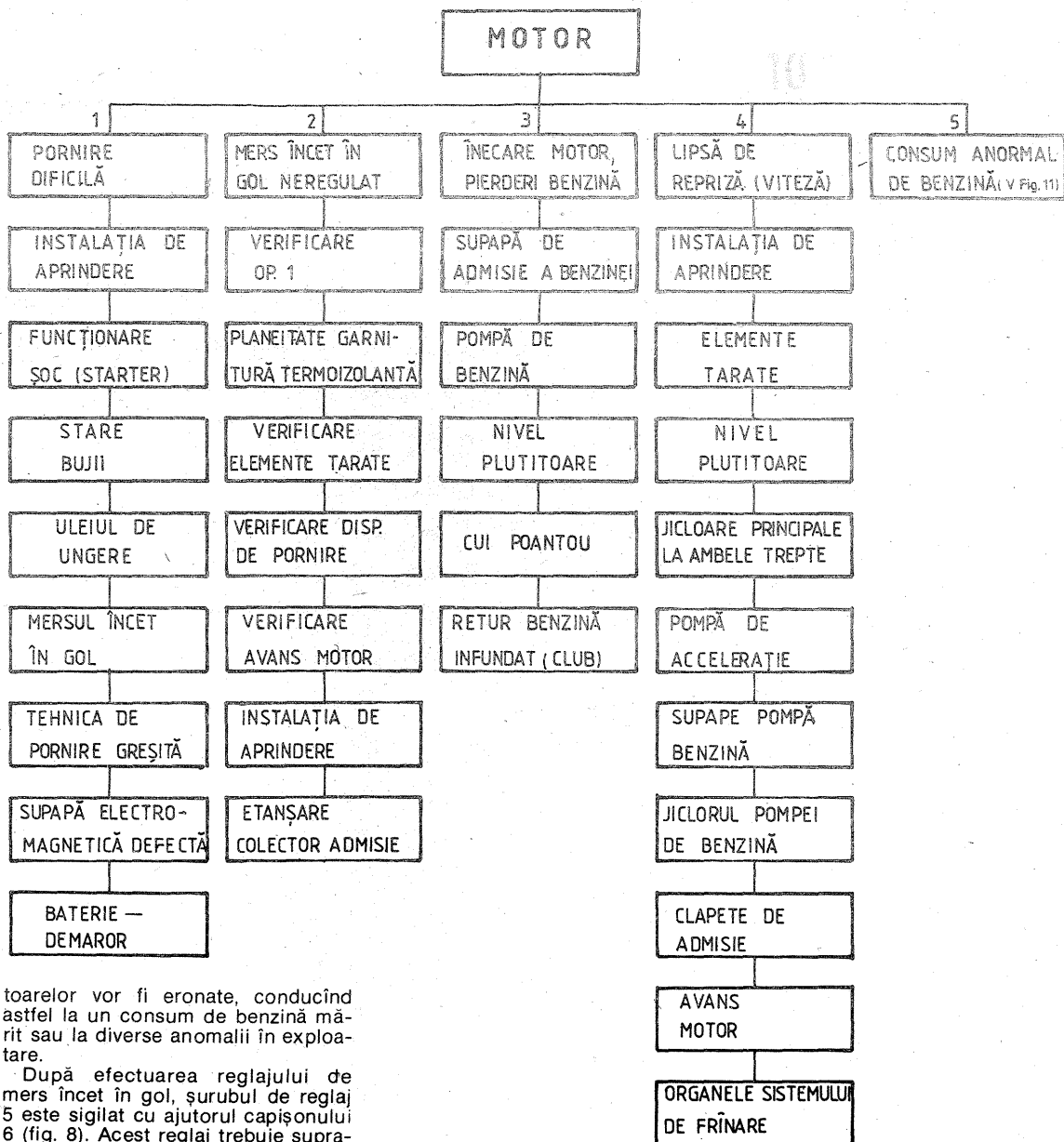
Observaţie. Acest şurub este, de asemenea, sigilat de către uzina constructoare şi poate fi acţionat cu ocazia reviziilor de rutină a carburatoarelor, dar numai după efectuarea rodajului autoturismului, în unităţile Service, dotate sau în curs de dotare cu standuri specifice.

După efectuarea rodajului autoturismului, reglajul regimului de mers încet în gol se face numai cu ajutorul şurubului 1 (fig. 8), montat pe capac, pentru obţinerea turaţiei de 900+50 rot/min. (conţinutul de CO nu se mai verifică deoarece acest şurub asigură un amestec de CO constant).

DEFECŢIUNI ÎN FUNCŢIONAREA CARBURATOARELOR

În timpul exploatării autoturismului pot apărea diferite defecţiuni (marea majoritate clasice), care trebuie remediate de către personal competent. Deoarece starea tehnică a carburatorului influenţează direct funcţionarea motorului, în figura 10 s-au prezentat schematic defectele principale care pot apărea în funcţionarea motorului, printre care şi cele legate de carburator.

• Dacă motorul porneşte greu la rece, folosind o tehnică corectă de pornire (cu şocul tras la pornirea la rece, fără „spritură” asupra pedalei de acceleraţie), se controlează suc-



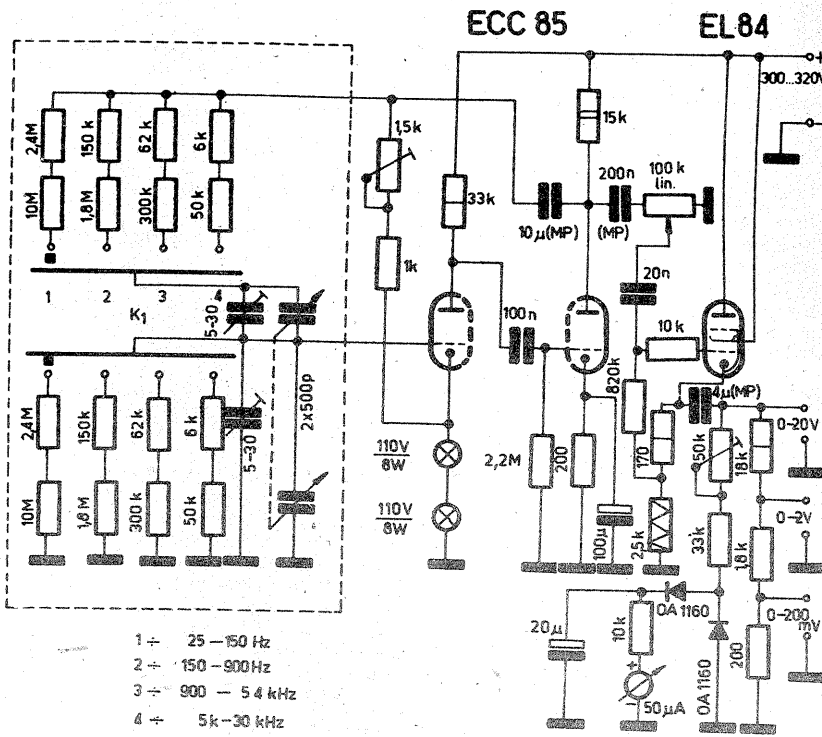
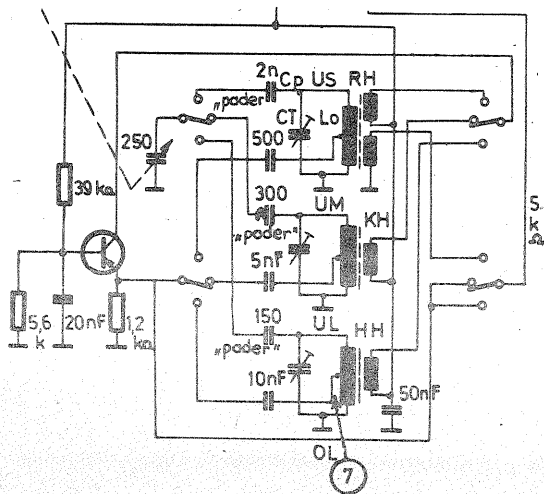
GENERATOR

AF

Cu tuburile rămase de la radioreceptoare puteți construi un generator de semnal audio care vă poate folosi la reglarea aparatelor. Acesta generează semnal sinusoidal între 25 Hz și 30 kHz în 4 game.

Oscilatorul este realizat cu ECC85 (tubul care în receptor era în blocul UUS), iar etajul de amplificare utilizează EL84.

Semnalul de ieșire este cules din catodul lui EL84 cu valori 0—20 V; 0—2 V și 0—200 mV. Reglajul fin al valorilor se face din potențiometrul de 100 kΩ. Valorile de semnal se pot citi pe instrumentul de măsură (etalonat cap scală din potențiometrul de 50 kΩ). Condensatorul variabil are o secțiune izolată față de masă.



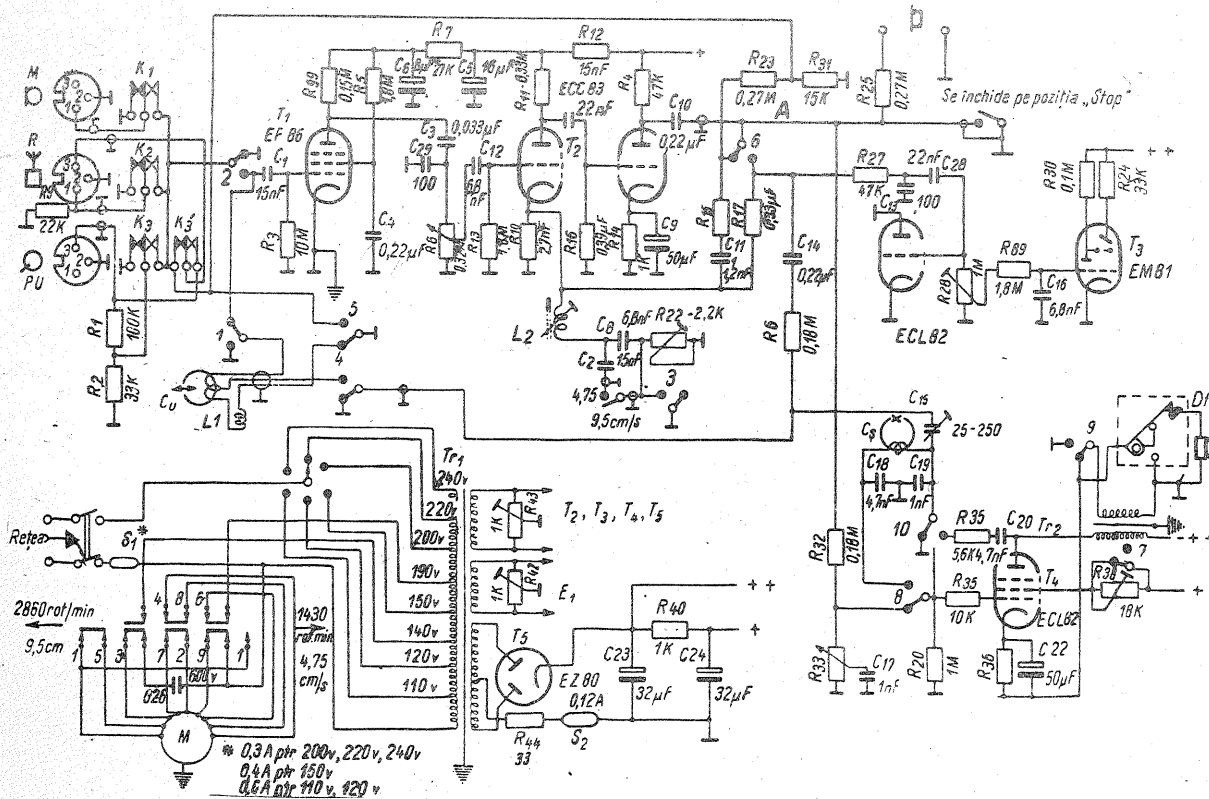
90 LX 661

gamă, înseamnă că o piesă este defectă. Verificați în primul rând dacă există tensiunea pe emitor. Dacă tensiunea măsurată este aproape egală cu tensiunea de alimentare, trebuie schimbat rezistorul de 1,2 kΩ. Măsurăți apoi cu exactitate valorile rezistoarelor din bază; acestea trebuie să aibă valori riguroase egale cu valorile indicate în schemă. Înlocuiți și condensatorul de decuplare din bază — cel din aparat poate fi scurtcircuitat sau întrerupt.

Dacă oscilatorul primește tensiune de alimentare atât în colector, cât și în bază și totuși nu funcționează pe nici o

Pagini realizate de ing. ILIE MIHĂESCU

SONET-DUO



Ca să puteți repune în funcțiune magnetofonul „Sonet-Duo” publicăm schema electrică. Întreaga operație va constitui un exercițiu cit se poate de folositor și plăcut în același timp.

Ca primă operație va trebui să refaceți redresorul. În locul tubului EZ80 trebuie să montați două diode 1N4007 sau F407 chiar pe socul tubului, terminalele 1—3 și 7—3. La terminalele 1 și 7 se conectează anodele. Este bine ca fiecare diodă să aibă inseriat câte un rezistor de 33—45 Ω/0,5 W ca protecție. Celelalte tuburi electronice din montaj trebuie verificate în prealabil la un catometru. După punerea în funcțiune, pe redare, modificăți în spațiu poziția bobinei L1 pînă ce zgomotul propriu al magnetofonului scade simțitor.

Dacă audiția este slabă ca intensitate, verificați starea condensatoarelor electrolitice de decuplare, în special C9 și C22.

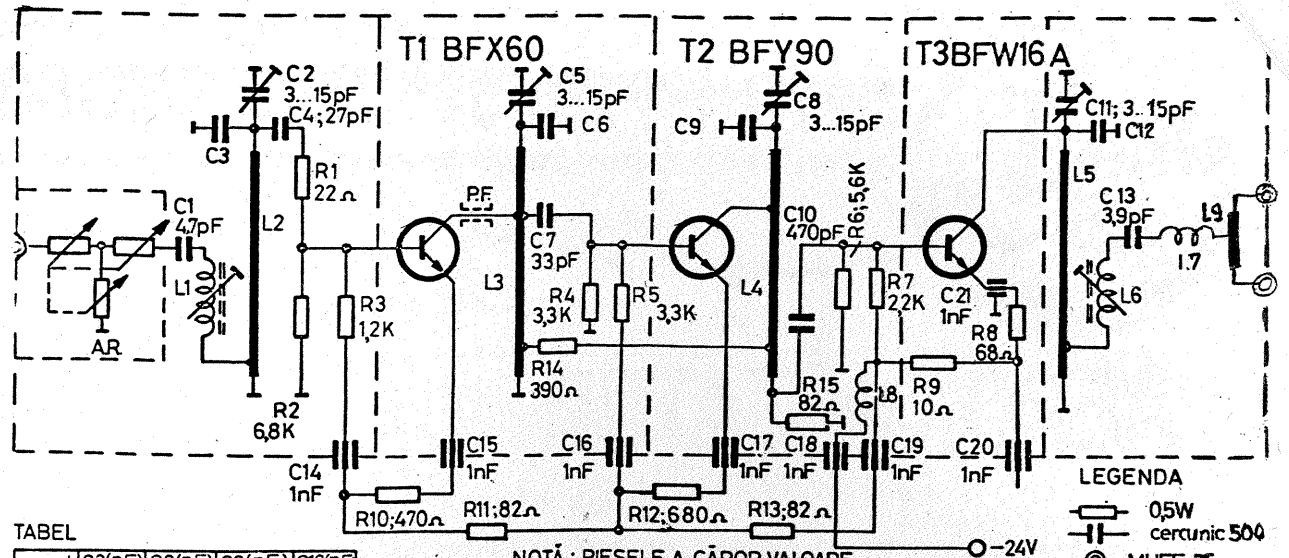
P 49766

DANCIU DOREL
— CRAIOVA

Vă prezentăm schema amplificatorului de antenă pentru canalele 4 sau 5 tip P49766.

Acordul fiecărui etaj, pe un canal sau altul se stabilește din condensatoarele C₃, C₆, C₉ și C₁₂.

Aducerea pe un alt canal decât cele prevăzute de constructor trebuie experimentată de dv. Orice reglaj al circuitelor oscilante trebuie făcut cu capacul cutiei amplificatorului bine fixat la locul lui. În caz contrar pot apărea cuplajele între etaje, respectiv autooscilarea întregului ansamblu.



TABEL

canal	C3(pF)	C6(pF)	C9(pF)	C12(pF)
C4	22	18	18	22
C5	18	15	15	18

NOTĂ : PIESELE A CĂROR VALOARE DIFERĂ DE LA UN CANAL LA ALTUL SÎNT PREVĂZUTE ÎN TABEL

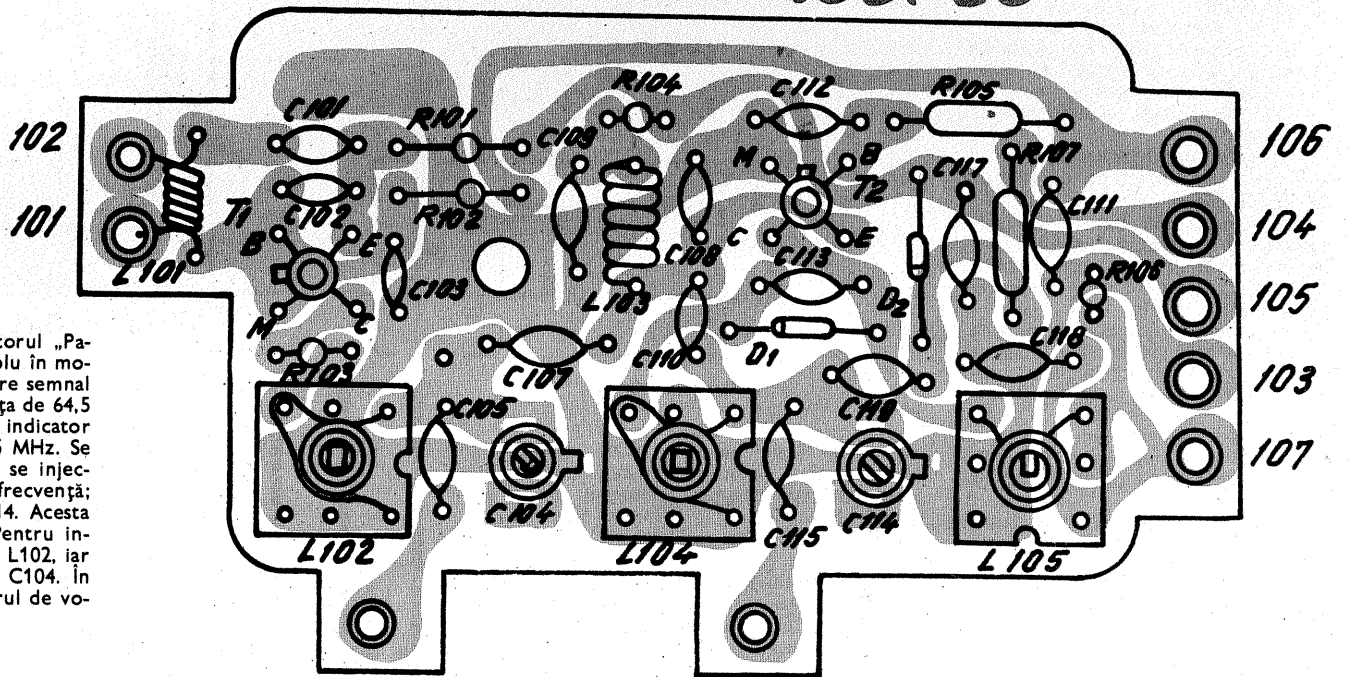
LEGENDA

- 0,5W
- cerucnic 500
- MUFE 75
- AR. ATENUATOR
- REZISTIV

RADIORECEPTORUL PACIFIC

ANDRONIC PAMFIL
— TULCEA

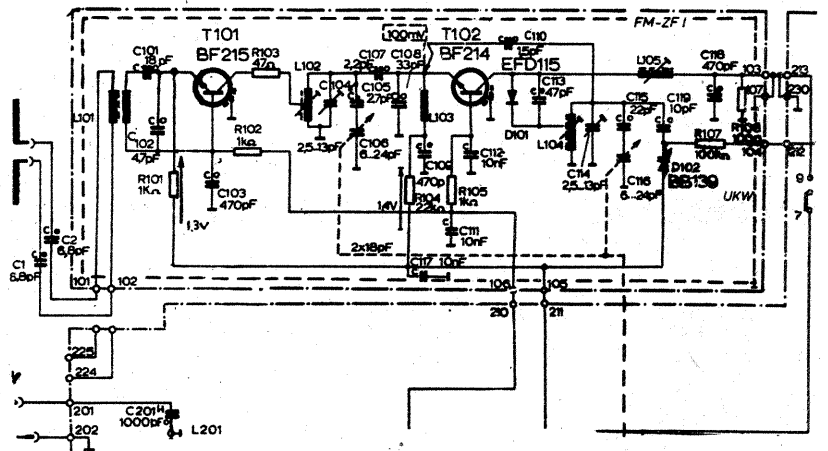
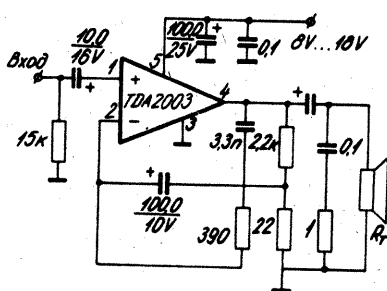
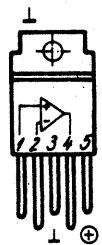
Blocul UUS din radioreceptorul „Pacific” se acordă destul de simplu în modul următor: se aplică la intrare semnal de la un generator cu frecvența de 64,5 MHz și se reglează L104; acul indicator trebuie să fie pe scală la 64,5 MHz. Se trece acordul la 73,5 MHz și se injectează din generator aceeași frecvență; acum reglajul se face din C114. Acesta a fost acordul oscilatorului. Pentru intrare pe 64,5 MHz se reglează L102, iar pentru 73,5 MHz se reglează C104. În timpul acordului potențiometrul de volum este pe poziția maxim.



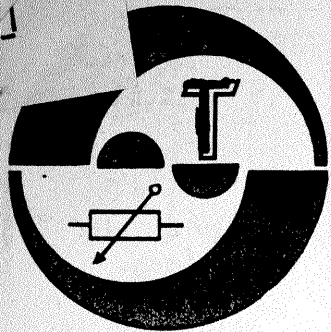
TDA 2003

GRASU VIRGIL
— ORADEA

Circuitul TDA 2003 este amplificator de putere în banda 20 Hz-20 kHz și se alimentează cu tensiune cuprinsă între 8 și 18 V. Debitează o putere de 8 W pe o sarcină de 2 Ω și o putere de 6 W pe o sarcină de 4 Ω cu 0,3% distorsiuni. Echivalentul acestui circuit este UL1413G produs Unitra. Schema electrică de utilizare este prezentată alăturat.



Rugăm cititorii revistei care doresc să trimită materiale spre publicare să le redacteze citeț și inteligibil, să prezinte ațit modul de funcționare al montajului, cît și detaliile constructive și de reglaj. Totodată să fie consemnate rezultatele măsurătorilor și tipul instrumentelor de măsură utilizate, acolo unde este cazul. Schemele executate conform normelor STAS să aibă trecute tipul și valoarea pieselor componente, valori ale tensiunilor și curenților în diferite puncte.



AEROIONIZATOR

Ing. C. RĂMBU

Pentru reducerea parțială a efectului de poluare a aerului pe care-l respirăm în locuințe sau birouri, propunem amatorilor construirea unui foarte simplu electroaeroionizator. Față de variantele cunoscute, industriale sau manufacturale, acest aparat se compune numai din materiale și piese recuperate.

După cum se remarcă din figura 1, aeroionizatorul are următoarele componente:

- TR.L=transformator de linii de la televizoarele sovietice („Rubin“, „Temp“, „Record“ etc.);
- R=minireleu telefonic;
- TV13=diodă redresoare de înaltă tensiune;
- P=pieptene metalic sau
- D=antena specială de cameră.

CONSTRUCTIE

Se demontează bobina de joasă tensiune a transformatorului de linii, iar în locul acesteia se bobinează 39 de spire CuEm Ø0,1 mm, izolând fiecare strat în parte.

Releul trebuie să aibă o masă de vibrație minimă, motiv pentru care se vor demonta eventualele piese suplimentare lăsându-se doar trei lamele de contact (ca în figura 1). În poziția de repaus a minireleului lamelele se vor regla astfel încât distanța dintre cele două contacte să fie de cca 0,2 mm.

Aparatul propus poate fi utilizat în camerele de locuit, în care caz se va folosi o antenă specială, sau în biroul de lucru, caz în care se va monta în locul antenei de cameră pieptenele metalic (fig. 2).

Antena este formată dintr-un fir de cupru neizolat Ø0,1 mm, separat electric față de cuișoarele de prindere în pereții opuși ai camerei la $h \geq 2$ m, prin câte o bucată de „ață“ de pescuit

Firul de coborâre este din același material sau un conductor izolat, la capătul căruia se va monta o banană de antenă radio.

Pieptenele metalic se confecționează din tablă de alamă sau bronz grosă de 1 mm. Forma dinților este triunghi isoscel cu baza egală cu a suportului de 10 mm. Vîrfurile dinților

notat cu R* se va lega un potențiomtru cu valoarea de 100 kΩ/0,5 W în serie cu un rezistor de 10 kΩ/1 W, cursorul acestuia aflîndu-se pe valoarea maximă. Se alimentează la rețea montajul, apoi se reglează lent cursorul în sens invers pînă cînd vor apărea vibrațiile releului și scînteii minime între contactele acestuia. Cu ajutorul unui creion de tensiune, în apropiere și nu prin atingerea bușelor, vom constata apariția curentului de înaltă tensiune pulsatoriu. Măsurată cu un instrument electrostatic, tensiunea înaltă are valoarea de 4 kV.

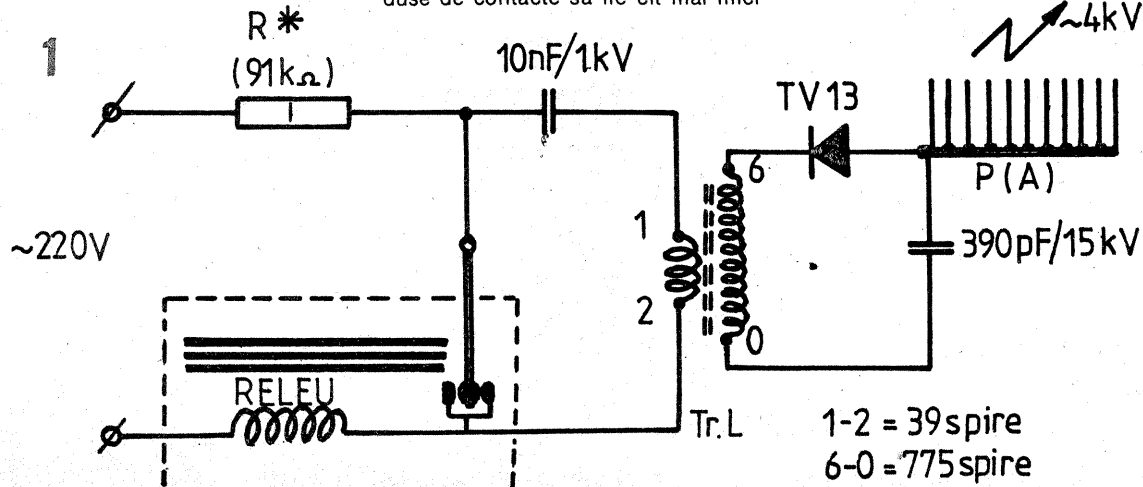
Stabilirea valorii R* se va definitiva astfel încît aparatul să funcționeze stabil în timp, iar scînteile produse de contacte să fie cît mai mici

pentru a evita uzura prematură a pastilelor de argint sau platină.

Aeroionizatorul experimentat și descris mai sus consumă de la rețeaua de 220 V un curent (neglijabil) de 1 mA, iar în secundar un curent de cca 0,01 mA. Minireleul se va închide într-un ecran cu grosimea de cca 1 mm și eventual protejat fonic cu burete sau catifea.

UTILIZARE

Montat într-o cameră de 16 m², de preferință într-un loc cu circulație de aer, aeroionizatorul a modificat într-o oră compoziția aerului conținut, îmbogățindu-l cu ioni negativi și dînd senzația respirării aerului ozonat al munților.

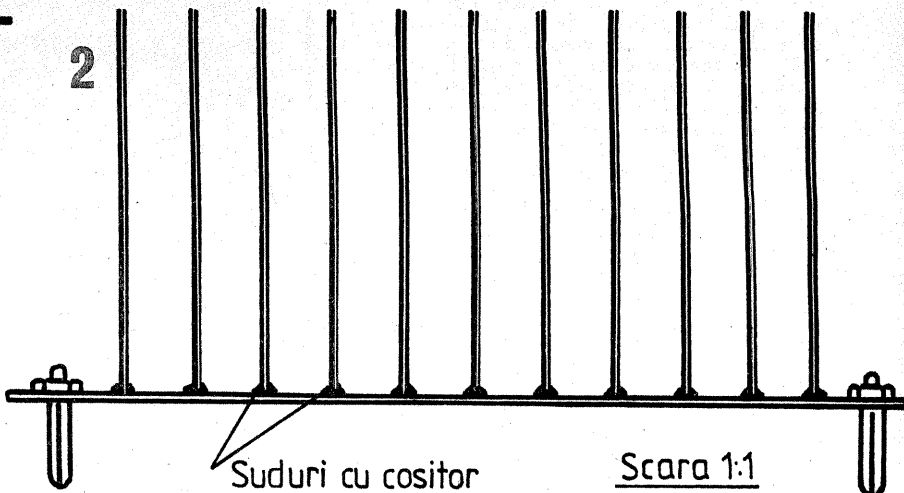


lor este absolut necesar a se ascuți în scopul descărcării mai lesnicioase a înaltei tensiuni (efect corona) în aerul conținut în încăpere, care are un anumit procentaj de umiditate. Pieptenele nu se vopsește.

Incinta (cutia) în care se vor monta elementele aeroionizatorului se va construi din materiale electroizolante, ca ebonită, plexiglas, pertinax etc., și va fi prevăzută cu două bușe pe capacul superior. Forma și dimensiunile incintei rămîn la latitudinea constructorului.

FUNCȚIONARE ȘI REGLAJ

După efectuarea legăturilor, verificarea acestora astfel încît să nu existe atingeri (scurgeri) față de componentele înaltei tensiuni se va proceda astfel: în locul rezistorului

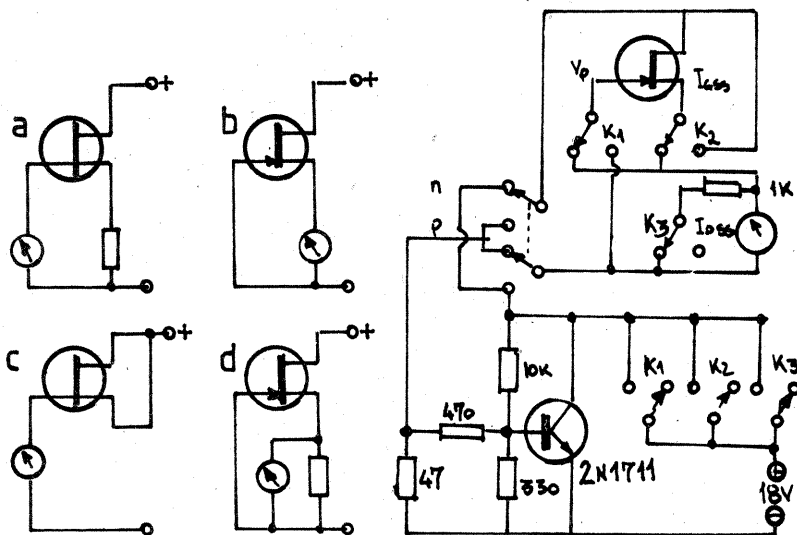


VERIFICAREA TRANZISTOARELOR FET

Ing. M. FLORESCU

Controlul fundamental al tranzistoarelor FET se face cu un aparat de minimum 20 kΩ/V, avînd patru montaje de control, notate cu a, b, c și d. Cu ajutorul unui sistem de comutare se realizează montajul din figură, care asigură măsurarea parametrilor V_p , I_{gss} , I_{dss} . Prin alegerea valorii de 1 kΩ se poate citi direct

curentul în miliamperi pe scara de voltmetru. Tranzistorul are rolul de a proteja FET-ul probat, prin limitarea puterii la 200 mW. Dacă se apasă simultan K₁ și K₃ se ajunge la schema d. Alimentarea se face la 18 V, cu două baterii miniatură. În schemă a fost introdus și un comutator canal N — canal P.



AVERTIZOR AUTO

Ing. ȘERBAN FERARU

În scopul asigurării autoturismelor parcate în locuri nepăzite, se poate utiliza dispozitivul electronic a cărui schemă este prezentată în acest articol.

Schema are la bază articolul „Avertizor”, autor Ing. Mihai Codîr-nai, apărut în nr. 1/1985 al revistei, dispozitivul prezentat aducând o serie de îmbunătățiri după cum urmează:

— cuplarea avertizorului se realizează cu ajutorul unui comutator camuflat în interiorul autoturismului (comutatorul K), timpul disponibil pentru părăsirea autoturismului fiind însă mărit la cca 25 s, fără prejudicierea eficacității sistemului de alarmare;

— dispozitivul, devenit activ după cele 25 s de la acționarea comutatorului K, este declanșat de închiderea a cel puțin unui întrerupător I_1, \dots, I_n , indiferent cât de scurt este timpul de acționare a acestuia;

— întrucât avertizorul a fost utilizat pentru paza unui autoturism Skoda S100, întrerupătoarele I_1, \dots, I_n sînt legate la borna +12 V.

Funcționarea rezultă din schemă: după închiderea comutatorului K,

este alimentat temporizatorul format cu tranzistorul T_1 și piesele aferente; după trecerea intervalului de timp dictat de valorile elementelor sche-

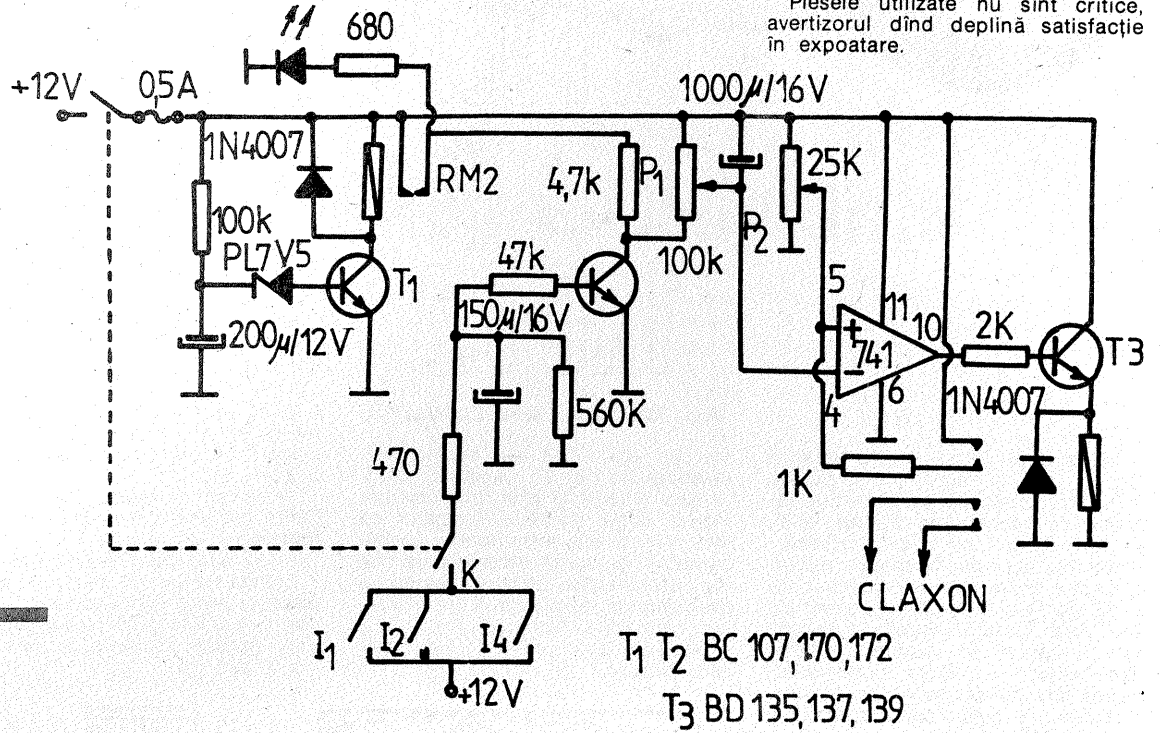
mei (cca 25 s), releul RM2 va fi atras, ca urmare avertizorul trecind în stare de veghe. Astfel se alimentează temporizatorul format cu tranzistorul T_2 , cu rolul de sesizare a închiderii a cel puțin unui întrerupător I_1, \dots, I_n prin apariția și menținerea pentru un anumit timp a diferenței de potențial de 12 V pe rezistența de $4,7 \text{ k}\Omega$ din colectorul lui T_2 . În rest, funcționarea este cea pre-

zentată în materialul menționat.

La reglarea dispozitivului se va avea în vedere ca timpul stabilit din potențiometrul semireglabil P_1 , să fie mai mic față de timpul de menținere datorat temporizatorului realizat cu T_2 .

LED-ul prezentat în schemă este facultativ, dar util în practică, indicînd intrarea în stare de veghe a avertizorului.

Piesele utilizate nu sînt critice, avertizorul dînd deplină satisfacție în expoartare.

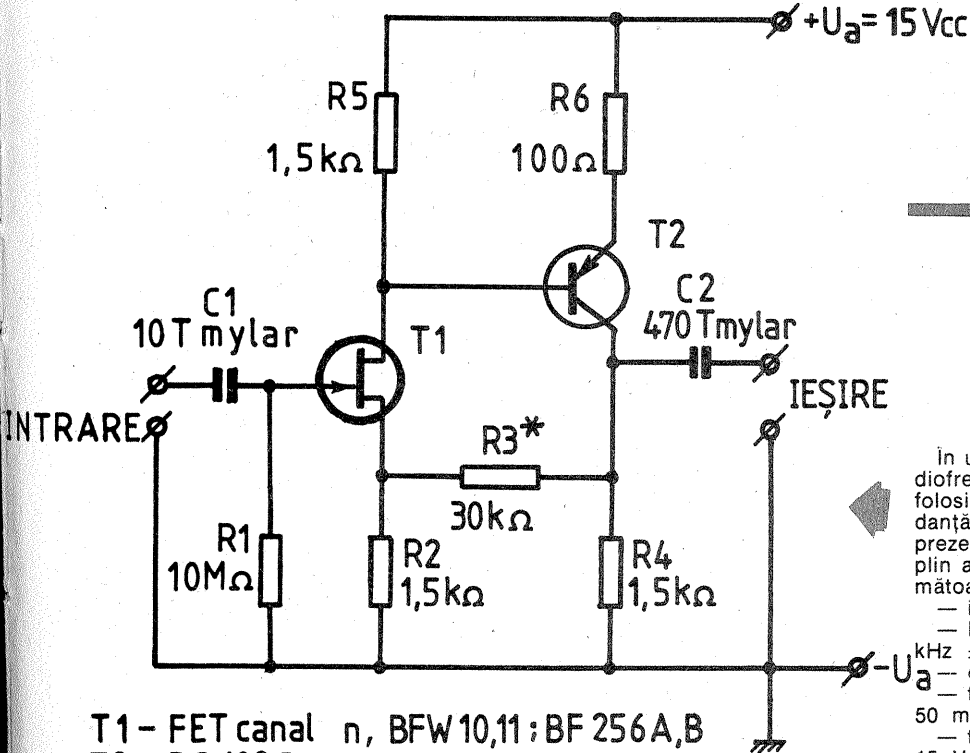
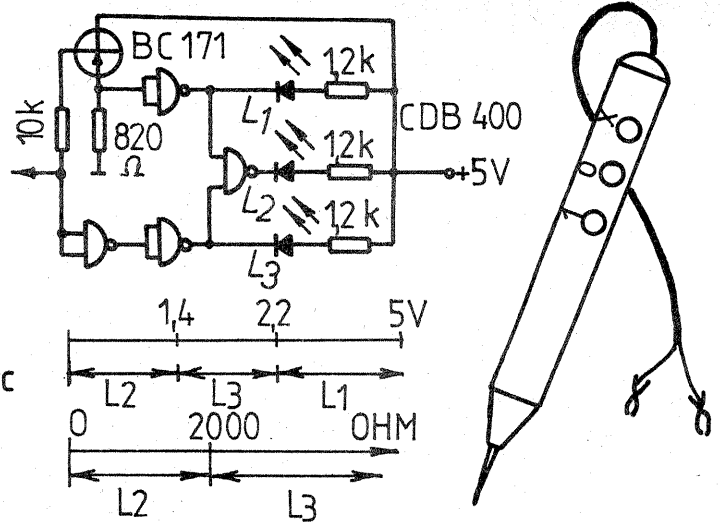


SONDĂ TTL

R. VASILE

Dispozitivul testează rapid nivelul unui punct în logică pozitivă. În gol luminează L_3 . La aplicarea vîrfului în punctul testat se stinge L_3 și se aprinde L_1 pentru nivel „1”, sau

L_2 pentru nivel „0”. La „rece”, pentru $R < 2 \text{ k}\Omega$ se aprinde L_2 . Consumul este de 10 mA/ L_2 ; 15 mA/ L_3 ; 20 mA/ L_1 .



T1 - FET canal n, BFW10,11; BF 256A,B
T2 - BC 108 B,C
Notă: $1T = 1nF$

AMPLIFICATOR

Ing. AURELIAN MATEESCU

În unele aplicații din domeniul audiofrecvenței este uneori necesară folosirea unui amplificator cu impedanță foarte mare. Amplificatorul prezentat în figură satisface pe deplin aceste necesități, prezentînd următoarele caracteristici:

- impedanță de intrare = 10 M Ω ;
- bandă de trecere = 20 Hz—20 kHz $\pm 0,5 \text{ dB}$;
- cîștig în tensiune = 20;
- tensiunea maximă la intrare = 50 mV;
- tensiunea de alimentare $U_a = 15 \text{ V}_{cc}$.

Obținerea impedanței ridicate este datorată utilizării în primul etaj a unui tranzistor FET cu canal N, de tip 2N5950 (sau BFW10, 11, BF256 A, B).

Cîștigul amplificatorului poate fi variat între anumite limite prin modificarea valorii rezistenței R_3 notată cu asterisc în schemă. Creșterea valorii lui R_3 conduce la creșterea cîștigului, iar scăderea valorii lui R_3 la scăderea cîștigului.

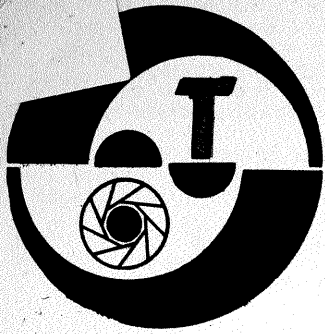
La execuția cablajului se va avea în vedere scurtarea traseelor.

Se recomandă utilizarea rezistențelor cu peliculă metalică (RPM) și a condensatoarelor mylar de bună calitate.

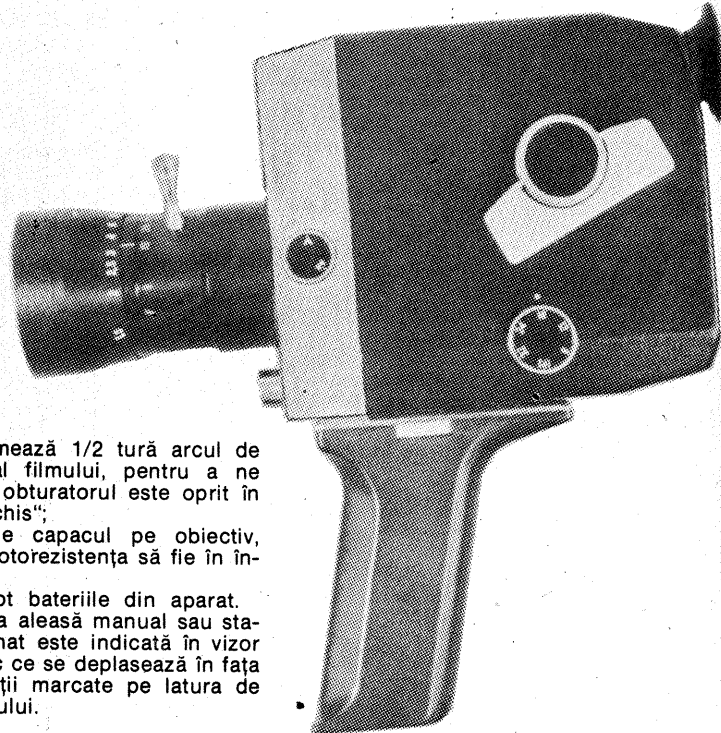
Montajul se ecranează, iar conexiunile de intrare și ieșire vor fi cît mai scurte și executate cu cablu ecranat.

BIBLIOGRAFIE

Popular Electronics, 1981



CUM FOLOSIM CINECAMERA QUARTZ 1X8 C2



AL. COTTA, GH. BĂLUȚĂ

Aparatul de filmat pentru amatori Quartz 1x8C-2, recent comercializat în țara noastră, are performanțe deosebit de interesante. Vizorul reflex și măsurarea luminii prin obiectiv, împreună cu posibilitatea reglării automate a diafragmei în timpul filmării conferă siguranță și comoditate mare lucrului. Filmul „8 super” este încărcat în casete tip Kodak-Srema, cu capac demontabil, disponibile de asemenea în comerț. Încărcarea și descărcarea aparatului sînt operații mult simplificate.

Obiectivul cinecamerei este zoom-ul Meteor 8M-1, cu distanța focală 9-38 mm (reglabilă manual) și deschiderea maximă F/1,8. Distanța minimă de punere la punct este 1,5 m, iar cu două lentile adiționale F=667 mm și F=250 mm, livrate o dată cu aparatul, se pot face macrofilmări pînă la 60 și respectiv 33 cm. Microprismele din zona centrală a geamului mat înlesnesc o focalizare precisă.

Un filtru de conversie încorporat în aparat permite utilizarea peliculei color balansată pentru lumina becurilor incandescente, la lumina de zi. Introducerea filmului în traseul optic este comandată din exterior printr-o pîrghie.

Reglajul diafragmei în plaja F/1,8—F/16 se poate face manual sau automat. Sistemul de expunere dispune de o fotorezistență care comandă deschiderea diafragmei; sînt luate în considerare sensibilitatea peliculei, frecvența de filmare și eventuala introducerea a filtrului de conversie. Alimentarea sistemului de expunere se face din două baterii cu

mercur, tip RT53 sau echivalente, inseriate (2x1,35 V). Caseta cu baterii este accesibilă prin interiorul camerei, după scoaterea casetei cu film. Nu există întrerupător pentru baterie și de aceea trebuie luată una din următoarele măsuri pentru a preîntîmpina descărcarea lor în timpul neutilizării camerei:

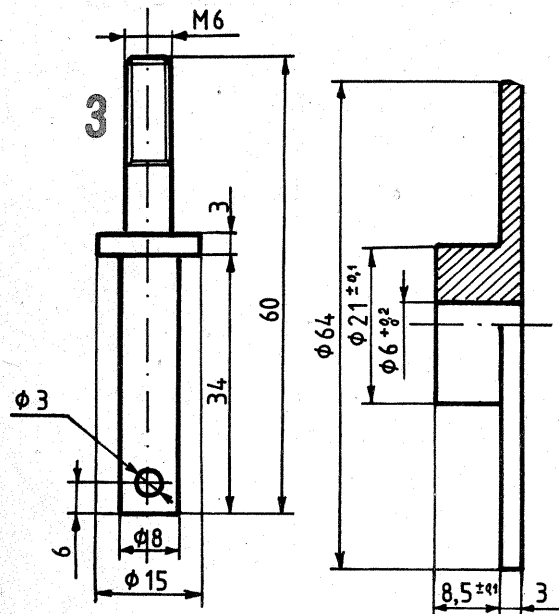
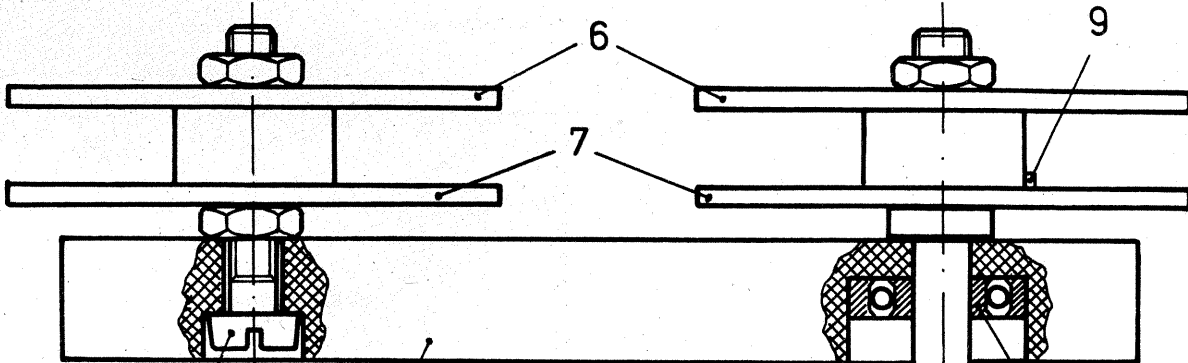
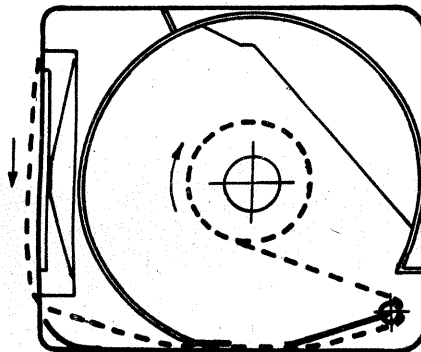
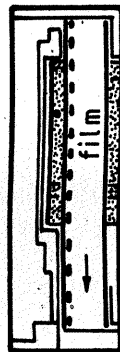
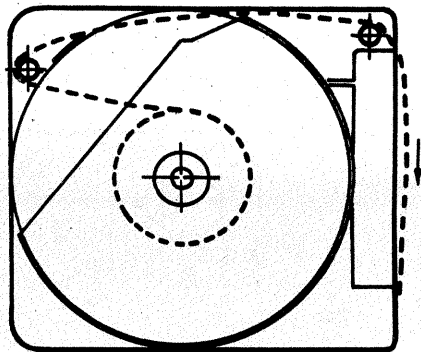
— se trece pe regim de lucru manual (butonul pe poziția M);

— se armează 1/2 tură arcului de transport al filmului, pentru a ne asigura că obturatorul este oprit în poziția „închis”;

— se ține capacul pe obiectiv, pentru ca fotorezistența să fie în întineric;

— se scot bateriile din aparat.

Diafragma aleasă manual sau stabilită automat este indicată în vizor printr-un ac ce se deplasează în fața unor gradații marcate pe latura de jos a cadrului.



Reper 4

Reper 6

Sensibilitatea peliculei se introduce în aparat cu ajutorul unui buton cu notațiile -2, -1, 0, 1, 2; ele corespund la 12, 15, 18, 21 și 24 DIN. Același buton permite supra sau subexpunerea voită.

Transportul filmului este asigurat de un mecanism cu arc, care la o armare completă trage 2,5 m film (circa 30 s la 18 cadre/s). Vitezele de filmare sînt 8, 12, 18, 24 și 32 imagini/s. Este posibilă și filmarea cadru cu cadru, prin montarea de-

clanșatorului flexibil în racordul filetat ce se află alături de declanșator. Un contor indică lungimea de film rămasă neexpusă în casetă. La scoaterea casetei, contorul revine automat la indicația 15 m. În vizor este vizibilă mișcarea alternativă „sus-jos” a unui palpator care confirmă deplasarea filmului în casetă. Imobilizarea acestui indicator înseamnă terminarea sau blocarea accidentală a peliculei. Se recomandă ca aparatul să nu fie lăsat de la o zi la alta cu arcu de transport armat

RECOMANDĂRI

Deși prospectele care însoțesc seturile de dezvoltare a filmelor de diapozitive color sînt destul de detaliate apar unele omisiuni care pot avea repercusiuni destul de grave asupra calității imaginii obținute.

Un prim element de care trebuie ținut seama este calitatea apei folosite pentru prepararea soluțiilor și pentru spălare. Pentru prepararea soluțiilor se va folosi numai apă distilată, în timp ce pentru spălări se poate folosi și apa de la robinet. Dar atenție, indiferent de sursa de obținere a apei distilate, aceasta se va folosi doar după ce a fost

lăsată să se „așeze” timp de 24... 48 ore și doar după o prealabilă filtrare prin filtru foarte fin (se poate folosi și o sugativă înfășurată sub forma unui con așezat în interiorul unei pîlnii). Aceleași recomandări sînt valabile și pentru apa de la robinet, nerespectarea lor putînd duce la apariția unor puncte supărătoare pe suprafața peliculei acolo unde s-au așezat particule de praf.

Un al doilea element de care trebuie ținut seama este temperatura soluțiilor. Abaterea în plus sau în minus de la temperatura indicată de producător poate duce la denaturarea puternică a colorilor. Menținerea unei temperaturi în limitele de $\pm 0,5^\circ\text{C}$ este dificilă chiar și pentru un amator mai dotat, care are băi cu încălzitor și cu termostat. Practic, pentru un amator perioadele optime de dezvoltare sînt atunci cînd temperatura mediului oscilează în jurul valorii de 20°C (primăvara și toamna). Pentru celelalte perioade se poate proceda astfel: cînd temperatura ambiantă este mai mică de 20°C , fiecare ope-

rație se va executa cu o soluție avînd o temperatură puțin mai mare decît cea recomandată, astfel încît la sfîrșitul operației temperatura ei să fie puțin mai scăzută decît cea recomandată. Cînd temperatura ambiantă este mai mare de 20°C , fiecare operație se va executa cu o soluție avînd o temperatură inițială puțin mai mică decît cea recomandată, astfel încît la sfîrșitul operației temperatura ei să fie puțin mai ridicată decît cea recomandată. Valorile cu care va scădea sau va crește temperatura soluției pe durata unei operații se vor determina pe cale experimentală anterior dezvoltării. Indiferent de metoda folosită, trebuie să avem în vedere că asigurarea temperaturii recomandate pe 50% din durata unei operații va garanta obținerea unor imagini corespunzătoare calitativ.

În privința iluminării, aceasta trebuie făcută cu o lampă mișcată permanent de la un capăt al filmului la altul, pe ambele fețe ale filmului, iar filmul să fie fixat într-un loc ferit de lumina directă a soarelui. Deși după iluminare se poate lucra practic cu capacul tancului de dezvoltare înlăturat, este bine ca procesul dezvoltării pînă la ultima spălare să se facă cu tancul închis. Dezvoltarea este bine să se

facă în tancuri cu spirală, pentru a feri fețele filmului de atingeri. Atunci cînd se folosește banda corex, după înfășurarea filmului și a benzii pe tambur, filmul și banda se vor ține cu o mină, iar cu cealaltă se va învîrți tamburul în sens invers înfășurării pînă cînd bobina se va mări în diametru cît rola tamburului, se va fixa banda corex de role și se va introduce în tanc. Acest procedeu evită apariția punctelor pe fața peliculei prin atingerea de banda corex, dar are dezavantajul că nu se poate dezvolta mai mult de un film o dată.

Dacă spălările se vor face cu soluții de detergenți în locul apei de la robinet, este bine ca aceste soluții să fie cît mai diluate pentru a permite o scurgere cît mai rapidă de pe fața filmului, împiedicînd astfel fixarea impurităților pe suprafața filmului.

Dacă, în pofida măsurilor luate pentru a obține o imagine curată observăm la sfîrșitul dezvoltării o serie de pete mici, albastre, care denaturează calitatea imaginii, se pot repeta ultimele două operații (palizare și fixare) în condiții identice cu cele inițiale (aceleași temperaturi și aceleași durate) ceea ce, în unele cazuri, poate duce la apariția petelor.

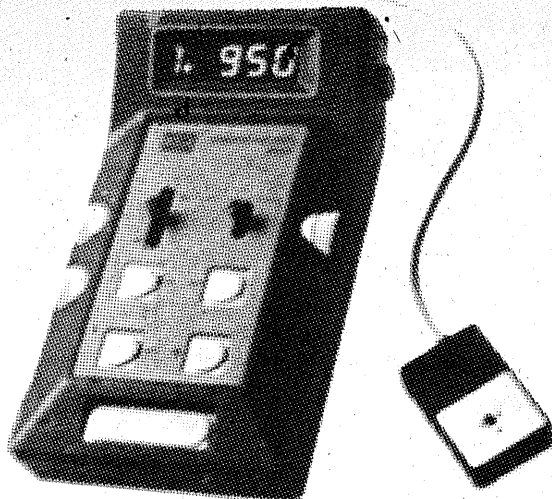
deoarece se slăbește tensiunea acestuia. Totuși se va ține seama de faptul că o descărcare completă a arcului poate lăsa obturatorul deschis, ceea ce voalează cîteva fotograme și produce un consum din bateriile sistemului de expunere. O armare cu 1/2 de tură a manetei este deci recomandabilă.

În încheiere, cîteva precizări privind caseta Kodak-Srema și modul de încărcare cu peliculă. Caseta se compune dintr-un corp central și două capace. În figura 1 sînt date trei vederi ale corpului central și — cu linie punctată — traseul filmului. Bobina cu peliculă se așază în compartimentul debitor al casetei (imaginea din stînga); filmul se trece apoi prin ghidajele indicate în desen, iese din casetă prin partea laterală și trece prin fața plăcii presoare (imaginea din mijloc). După ce reintră în casetă, pelicula este ghidată în compartimentul receptor pînă la mosorul de antrenare. Fixarea pe motor se poate face prin lipirea capătului filmului cu o bandă adezivă de circa 7 mm lățime. Operația trebuie exersată mai întîi la lumină, apoi la întuneric cu film expus și de-abia apoi se poate trece la încărcarea cu peliculă virgină.

Uneori rolele cu film sînt livrate de producător înfășurate în sens opus celui necesar (de exemplu, pelicula RCP-21 Azomureș 1 x S8, două bobine de cîte 15 m în același ambalaj). În această situație este necesară o rebobinare prealabilă a filmului, în obscuritate totală sau la lumina inactivă. O „virtelniță” ca aceea din figura 2 poate fi deosebit de utilă în acest scop. Într-o placă 1 de textolit sau material plastic sînt fixate două axe: axa 2, constituită dintr-un șurub M6 și axa 4, fixată în placă printr-un rulment adecvat 3. Rolele debitoare (din stînga) și receptoare (dreapta) sînt confecționate, identic, din reperi 6 și 7. Ele se fixează pe axe cu ajutorul unor piulițe M6. Rola debitoare trebuie să se rotească relativ lejer pe axa 2, în timp ce rola receptoare se fixează rigid pe axa 4. Cotele de execuție ale unor reperi importanți sînt date în figura 3, restul fiind la latitudinea constructorului.

Pe rola receptoare se așază mai întîi inelul de plastic pe care este bobinat filmul livrat de producător. În acest inel se practică o creștătură de circa 1,5 mm lățime și 1,5 mm adîncime, cu o pînză de bomfaier. Un știft cu aceleași dimensiuni, montat în rola receptoare (reperul 9 din figura 2) va intra în creștătură și va împiedica rotirea inelului. Pe inel se prinde apoi, cu bandă adezivă, capătul peliculei.

În axul 4, gaura $\varnothing 3$ se dă numai după introducerea presată a rulmentului 3, pentru a evita dificultățile create de ușoara deformare a axului în momentul găuririi.



O noutate în tehnica fotografică o reprezintă exponometrul de laborator Iobotron 2000.

El este atît exponometru cît și ceas de expunere, realizînd o expunere automatizată cu aparatul de mîrit. Avînd o repetabilitate de circa 1/10 s și ca element fotosensibil o fotocelulă cu siliciu corectată cromatic, acest exponometru este util

atît în alb-negru, cît și în color.

Poate fi folosit în următoarele moduri de lucru:

1. simplu ceas de expunere cu afișaj digital; se alege timpul de expunere dorit conform afișajului și se efectuează expunerea;
2. exponometru cu măsurare punctuală; se plasează sonda pe planșeta aparatului de mîrit și se

ILOBOTRONIC 2000

măsoară zona considerată de referință (punctual); timpul de expunere necesar se afișează;

3. exponometru cu măsurare integrală (reflex); se plasează sonda lîngă obiectiv (cu un adaptor) cu elementul fotosensibil îndreptat în jos, astfel încît să recepționeze lumina reflectată de pe planșeta aparatului de mîrit.

Ca orice exponometru de laborator, este un aparat comparativ și necesită o programare la schimbarea sensibilității hîrtiei fotografice. Expunerea poate fi corectată de la un buton, în limitele a ± 2 semitrepte de diafragmă.

Domeniul de măsurare este de 0,002—15 lx.

În varianta ceas de expunere poate fi folosit între 1,6 și 100 s, iar cu corecție de expunere între 0,8 și 200 s.

Afișează timpi de expunere între 0 și 990 s.

(URMARE DIN PAG. 13)

Exemplul 1: Avem un sistem format din următoarele etaje:

- un amplificator cu $F_1=3,2$ dB și $G_1=7$ dB;
- un amplificator cu $F_2=6,7$ dB și $G_2=8$ dB;
- un cablu cu o atenuare de -12 dB; $F_3=0$ și $G_3=-12$;

- un amplificator cu $F_4=6$ dB și $G_4=6,5$ dB;
- un mixer cu $F_5=6$ dB și $G_5=-7$ dB;
- un amplificator de frecvență intermediară cu $F_6=2$ dB și $G_6=22$ dB.

Exemplul 2: Avem următorul sistem:

- un preamplificator cu $F_1=2,5$ dB și $G_1=18$ dB;
- un cablu cu $F_2=0$ dB și $G_2=-14$ dB;
- un receptor avînd primul etaj cu caracteristicile: $F_3=6$ dB și $G_3=22$ dB.

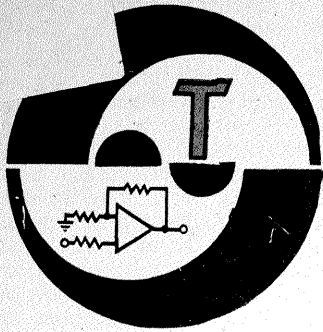
Exemplul 3: Avem un receptor cu 7 etaje avînd următoarele caracteristici:

- 1) $F_1=3$ dB și $G_1=6$ dB; 2) $F_2=3,5$ dB și $G_2=6$ dB;

3) $F_3=4$ dB și $G_3=7$ dB; 4) $F_4=0$ dB și $G_4=-2$ dB; 5) $F_5=4,5$ dB și $G_5=7$ dB; 6) $F_6=6,5$ dB și $G_6=-8$ dB; 7) $F_7=1,5$ dB și $G_7=22$ dB.

Rezultatele celor trei exemple sînt date în tabel.

	1	2	3	4	5	6	TOTAL
F	3.2	6.7	0	6	6	2	7
G	7	8	-12	6.5	-7	22	24.5
F	2.5	0	6	0	0	0	4.7
G	18	-14	22	0	0	0	26
F	3	0.5	4	0	4.5	6.5	3.9
G	6	0	7	-2	7	-8	16
F	3.5	3.5	0	0	0	0	3.9
G	18	22	0	0	0	0	38



Ansamblul poate constitui partea de obținere a semnalului SSB într-un emițător sau transceiver.

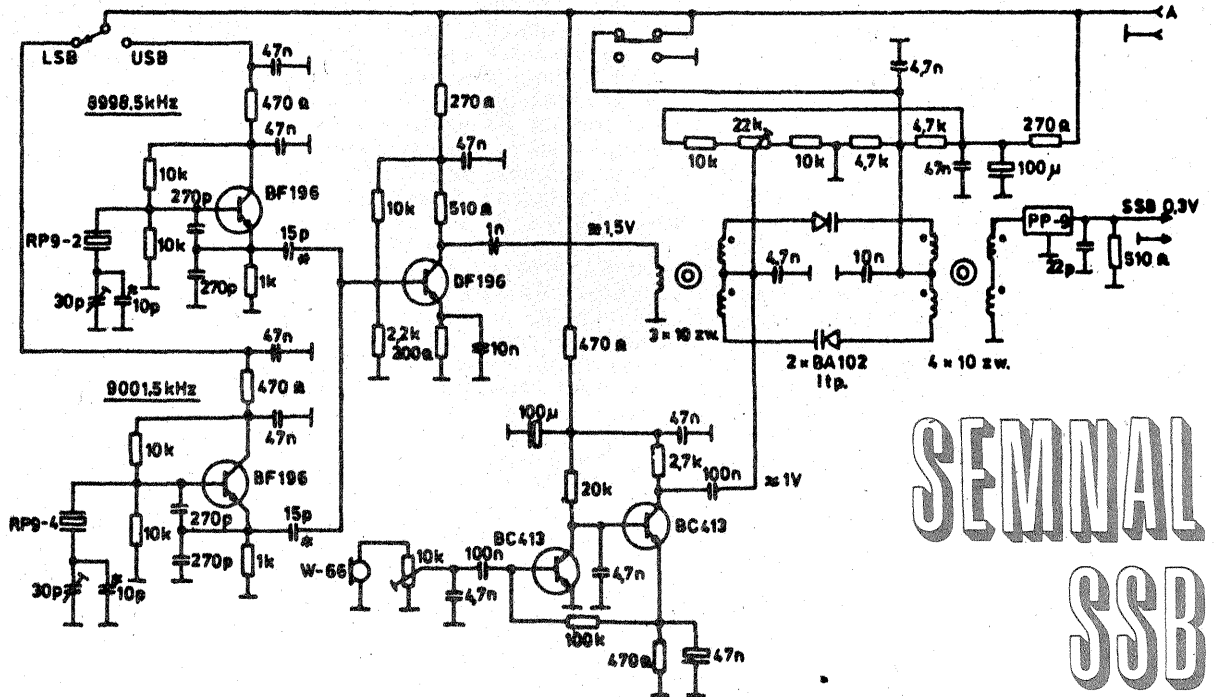
Este construit din două oscilatoare, unul USB care generează 8998,5 kHz și altul care generează 9001,5 kHz, respectiv LSB.

Semnalul de oscilator este aplicat unui etaj separator și de la acesta (1,5 V_{VV}) ajunge la modulatorul echilibrat. Tot modulatorul echilibrat i se aplică și semnalul de la microfon, amplificat în prealabil de două tranzistoare BC413.

Modulatorul echilibrat este constituit din două diode varicap BA102; echilibrarea (anularea purtătoarei) se obține cu potențiometrul de 22 kΩ.

La ieșirea modulatoare este cuplat filtrul de 9 MHz.

BULETIN PZK, 7-8/1985



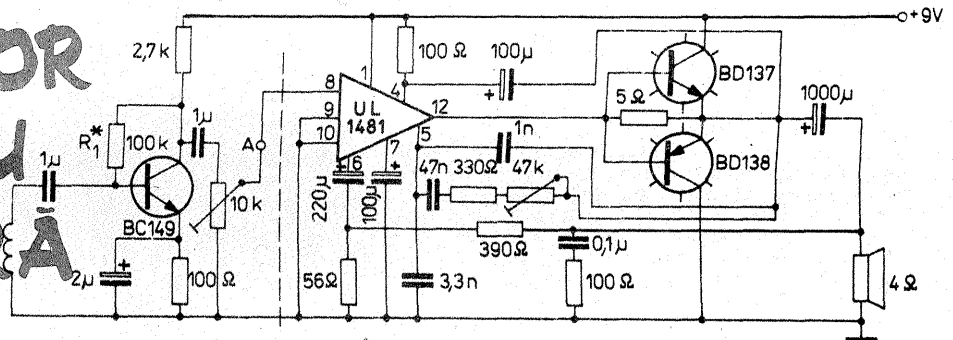
SEMNAL SSB

Montajul este un amplificator care captează semnalul de la doza magnetică a chitarei prin tranzistorul BC149 și îl amplifică apoi ca să se obțină o putere maximă de 5 W cu distorsiuni minime.

Amplificarea se reglează din potențiometrul de 10 kΩ, iar simetria semnalului din potențiometrul de 47 kΩ. Alimentarea este asigurată dintr-un redresor ce poate debita 9 V/2 A.

MLODY TECHNIK, 3/1982

ADAPTOR PENTRU CHITARĂ



Grosime (mm)	Tensiune (V)	Tip	Capacitate (mAh)	UCAR	VARTA	RENATA	DURACELL	CITIZEN	MAXELL	IEC	JIS
Ø 6,78 mm											
1,60	1,5	LD	8	321	540	38	-	34	SR616SW	-	-
2,16	1,5	LD	15	364	531	31	-	34	SR621SW	-	-
2,67	1,5	LD	20	377	-	37	-	39	SR626SW	-	-
Ø 7,87 mm											
1,60	1,35	LD	10	315	530	40	-	-	-	-	-
2,06	1,5	LD	18	362	532	19	-	29	SR721SW	-	-
2,06	1,5	HD	18	361	-	-	-	-	SR721W	-	-
2,67	1,5	LD	28	397	536	26	-	-	SR726SW	SR57	-
2,67	1,5	HD	28	396	556	29	-	-	SR726W	-	-
3,10	1,5	LD	35	329	525	24	-	-	-	-	-
3,56	1,5	HD	38	392	547	2	10L125	13	SR41W	SR41	G3
3,63	1,5	LD	35	384	527	10	-	18	SR41SW	SR41	GS3
3,63	1,35	LD	50	325	507	5	10R125	02	-	MR41	-
5,33	1,5	HD	75	393	546	15	10L123	-	SR754W	SR48	G5
5,33	1,5	LD	60	309	526	16	10L13	-	-	SR48	GS5
5,33	1,35	LD	95	323	506	8	10R123	-	-	MR48	HS5
Ø 8,84 mm											
3,30	1,35	LD	65	388	503	-	10R10	-	-	-	-
Ø 9,50 mm											
1,60	1,5	LD	20	373	-	41	-	45	SR916SW	-	-
2,06	1,5	LD	30	371	537	30	-	31	SR920SW	-	-
2,06	1,5	HD	30	370	-	-	-	-	-	-	-
2,67	1,5	LD	28	397	536	26	-	-	SR726W	-	-
2,67	1,5	HD	28	396	556	29	-	-	SR726W	-	-
3,57	1,5	LD	70	394	524	27	10L126	17	SR936SW	SR45	-
Ø 11,56 mm											
1,60	1,5	LD	30	366	-	-	-	-	SR1116SW	-	-
1,60	1,5	HD	30	365	-	-	-	-	-	-	-
2,06	1,5	LD	42	381	533	34	10R130	27	SR1120SW	SR55	-
2,06	1,5	HD	43	391	553	23	10L130	30	SR1120W	SR55	G8
3,00	1,5	LD	82	390	534	11	-	24	SR1130SW	SR54	-
3,00	1,5	HD	85	389	554	17	10L122	15	SR1130W	SR54	-
3,48	1,35	LD	80	387	502	-	W2	-	-	-	G10
3,51	1,35	LD	120	343	509	3	WH8	05	-	MR42	HSB
3,58	1,5	LD	100	344	529	12	-	-	-	SR42	HSB
3,58	1,5	HD	100	350	549	14	10L120	-	-	SR42	-
4,06	1,5	LD	100	301	528	1	WS11	16	SR43SW	SR43	GS12
4,14	1,35	LD	150	354	508	4	10R124	-	-	MR43	-
4,19	1,5	HD	120	386	548	6	10L124	21	SR43W	SR43	G12
5,33	1,35	LD	220	313	501	13	WH3	06	-	MR44	HSC
5,36	1,5	HD	190	357	541	7	10L14	-	SR44W	SR44	G13
5,59	1,5	LD	165	303	521	9	WS14	08	SR44SW	SR44	GS14

BATERII MINIATURĂ

Bateriile miniatură pentru ceasuri, calculatoare, aparate foto etc. sînt construite pe bază de oxizi de argint

sau oxid de mercur. Bateriile pe bază de oxid de argint debitează 1,5 V, pe cînd bateriile pe bază de oxid de mercur debitează 1,3 V.

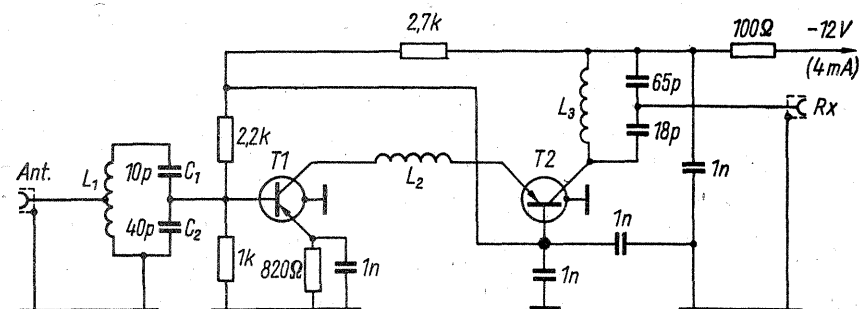
Vă prezentăm alăturat un tabel cu principalele tipuri de baterii miniatură, caracteristicile lor mecanice și electrice, așa cum sînt livrate de diverși producători. Notațiile LD (Low Drain) și HD (High Drain) indică posibilitatea de furnizare a curenților mici sau mari.

PREAMPLIFICATOR

Pentru recepția programelor TV din canalul 11, preamplificatorul alăturat are o deosebită eficiență. Cele două tranzistoare sînt de tipul AF139 sau AF239. Bobinele L₁ și L₃

au cîte 4 spire Ø 6 mm CuEm 0,6, iar L₂ are 3 spire Ø 6 din CuEm 0,4.

FUNKAMATEUR, 6/1982



cultura ciupercilor PLEUROTUS

Dr. N. MATEESCU

Cultura ciupercilor *Pleurotus* poate fi socotită printre cele mai ușor de realizat, întrucât o serie de lucrări tehnologice prevăzute la cultura ciupercilor *Agaricus bisporus* și a altor specii nu mai sînt necesare (compostarea substratului nutritiv, pasteurizarea acestuia, pregătirea amestecului și acoperirea, tratamente cu substanțe pesticide și altele).

Ciupercile *Pleurotus* se mai numesc și bureți, iar la noi sînt cultivate următoarele specii:

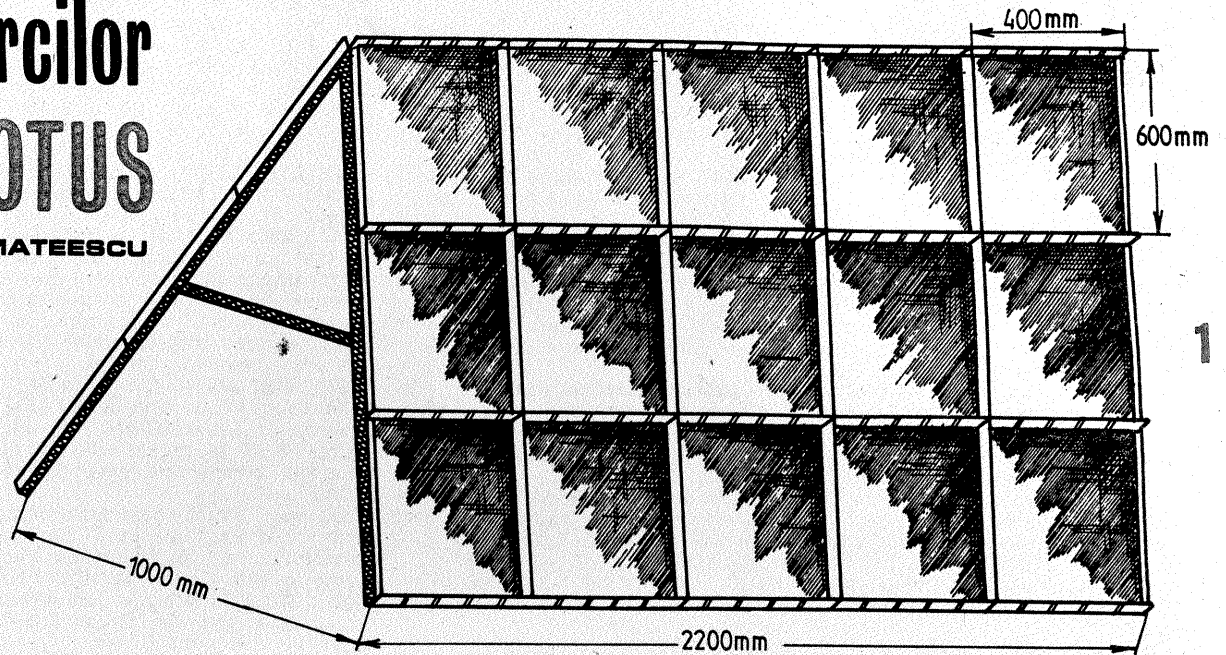
— *Pleurotus ostreatus* — denumit și buretele vinăt sau păstrăvul de fag;

— *Pleurotus cornucopiae* — sau buretele în formă de cornet;

— *Pleurotus florida* — buretele sau păstrăvul roșiatic;

— *Pleurotus sajor-caju* — denumit buretele sau păstrăvul negru.

La toți acești bureți pălăria este dispusă asimetric pe picior și prezintă dimensiuni variate, de la cîteva centimetri la peste 20 cm; înțietatea în această direcție o deține buretele vinăt sau *Pleurotus ostreatus*. Piciorul bureților menționați este situat marginal față de pălărie și la maturitate capătă o consistență spongioasă. Caracteristic pentru piciorul carpoforului acestor specii de ciuperci este faptul că dimensiunile sale sînt influențate de lumină și ventilație. În condiții de lumină puternică piciorul își reduce lungimea, însă crește în grosime, spre deosebire de cazul cînd lumina este slabă, sub 50 lx (nu se poate citi), piciorul se alungeste puternic, ciuperca apărînd ca o monstruoziitate.



La aceste specii de *Pleurotus* este caracteristic și faptul că apariția ciupercilor se face sub formă de buchet pe un postament micelidian. Numărul indivizilor dintr-un buchet poate să fie de la cîteva pînă la mai mult de 30 de exemplare; înțietatea în această direcție o deține *Pleurotus sajor-caju*.

TULPINI DE PLEUROTUS CULTIVATE LA NOI

Pentru cele patru specii de *Pleurotus* sînt cultivate următoarele tulpini produse de Institutul de Cercetări pentru Legumicultură și Floricultură Vidra, Sectorul Agricol Ilfov.

Pentru *Pleurotus florida*: Tulpina 308 produce carpofori de culoare crem ușor brună, cu greutatea medie de 12 g și potențialul de recoltă de 14—22% față de cantitatea de substrat folosită. **Tulpina 362** produce carpofori de culoare alb-crem, cu greutatea de 19 g și un potențial de recoltă de 25%.

Pentru *Pleurotus ostreatus*: Tulpina 7-bis (foto 1) produce carpofori de culoare vinătă-negricioasă, cu greutatea de 18—20 g și un potențial de recoltă de 17%. **Tulpina 377** produce carpofori de culoare vinătă, cu greutatea ceva mai redusă, însă cu un potențial de recoltă mai accentuat față de tulpina 7-bis.

Pleurotus cornucopiae este reprezentat prin **Tulpina 386**, la care carpoforul apare sub formă de cornet cu dimensiunile de 3—8 cm, iar cuticula este de culoare galbenă ca lămîia. Piciorul ciupercii se prezintă mult mai alungit și mai subțire ca la celelalte specii de *Pleurotus*.

Pleurotus sajor-caju este reprezentat prin **Tulpina 392**; ciupercile sînt de culoare brună, avînd pălăria de forma unei cochilii de scoică. Potențialul de fructificare este de 20%, asemănător cu cel de la *Pleurotus ostreatus* și superior celui de *Pleurotus cornucopiae* și *Pleurotus florida*.

Dintre cele patru specii de *Pleurotus* cultivate la noi, *Pleurotus sajor-caju* prezintă creșterea cea mai activă, primele ciuperci apărînd după 18—21 de zile de la însămînțarea miceliului, comparativ cu 30 de

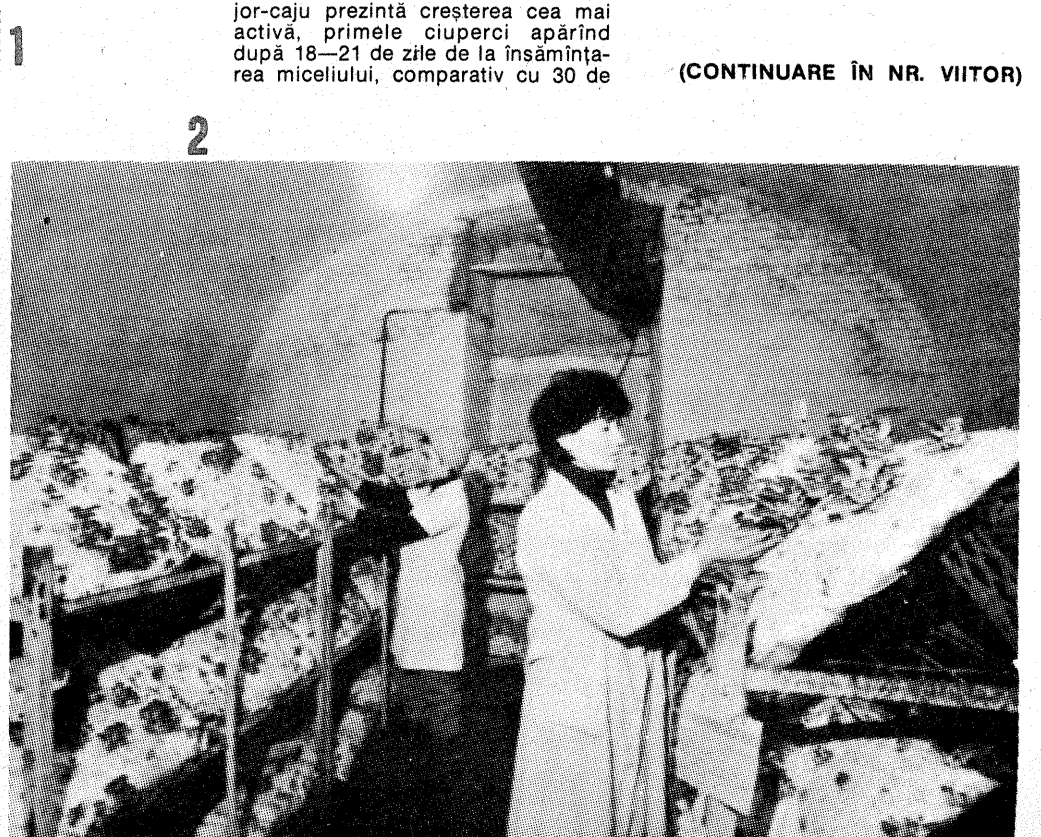
zile la *Pleurotus florida* și *Pleurotus cornucopiae* și 45—50 de zile la *Pleurotus ostreatus*.

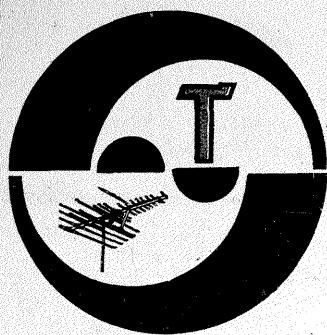
BIOLOGIA CIUPERCILOR PLEUROTUS

Temperatura. Cerințele calorice sînt la *Pleurotus ostreatus* mai ridicate în perioada de incubare sau de împinzire a miceliului în substratul nutritiv celulozic (22—24°C) și mai scăzute în perioada de formare a ciupercilor (12—15°C). La celelalte trei specii, necesarul termic este la fel de ridicat atît în perioada împinzirii miceliului în substratul nutritiv celulozic, cît și în perioada de formare a ciupercilor (20—24°C), fapt care le caracterizează ca ciuperci termofile.

Umiditatea substratului este de 70—75%, cu limita maximă de 78—80%, apa trebuie să intre în structura materialelor celulozice din care s-a format substratul nutritiv (paie, ciocălăi de porumb, rumegus și altele) și pentru aceasta este necesară o îmbibare în prealabil a materialelor.

(CONTINUARE ÎN NR. VIITOR)





SERVICE

JIANU SORIN — jud. Vilcea
Circuitul integrat K155TM2 este bistabil dublu și este echivalent cu SN7474N.

HREHORCIUC VICTOR — Suceava
Pentru depanarea televizorului adresați-vă unei cooperative.

Nu deținem datele componentelor din ceasul electronic la care vă referiți.

PETCU IULIAN — București
Tranzistorul KD337 este npn, iar KD338 este pnp; au curent de colector 2 A, putere 20 W în audiofrecvență. KD602 este npn, admite un curent de colector de 8 A și o tensiune colector-emitor de 100 V. Dioda KZZ71 este tip Zener, admite un curent de 36 mA și stabilizează o tensiune cuprinsă între 6 și 7,4 V.

Circuitele TBA790, TBA810 și TBA790T au sint echivalente. Circuitul MH5400 este echivalent cu CDB400E.

LUNGU EUGEN — Predeal
Vom publica amplificatoare cu BF710.

UNGUREANU ILIE — București

Nu deținem date tehnice despre emițătoare TV din alte țări.

LAZAROVICI TEODOR, Bd. Tomis 320, bl. M4, ap. 19 — Constanța

Oferă colecția „Tehnum”.

ALEXANDRU MARCEL — Tirgoviste
Nu posedăm schema amplificatorului V150.

HOGEA DUMITRU — jud. Bacău
Schimbând tensiunea de alimentare a aparatului se schimbă performanțele aparatului.

JUNC NICOLAE — jud. Arad
Vom reveni asupra antenelor cadru.

NEGREANU DAN — Ploiești
Semnale trapezoidale puteți obține ușor prin limitări convenabile ale semnalului sinusoidal.

GRIDAN GHEORGHE — jud. Gorj

Tubul electronic EL84 se găsește curent în magazine; poate fi înlocuit cu 6P18P sau cu ECL82 (partea tetrodă).

PAUL ALEXANDRA — București
Vă așteptăm la redacție să vă dăm schema solicitată.

DURBAC FERI — Giurgiu
La circuitul ROB8135 verificați stabilitatea tensiunii de alimentare și

condensatoarele de decuplare. Schema „Alpina” nu o deținem; pentru echivalența circuitelor puteți consulta cataloagele din redacție.

CONDRA ION — Sibiu

Montajul a fost experimentat cu 741; dacă montați M3900, trebuie să aduceți (experimental) unele modificări. Rezistoarele notate M22 au 220 k Ω , iar cele notate 1M au valoarea 1 M Ω .

NEAMTU VICTOR — Iași

Mulțumim pentru aprecieri.

CRISTESCU GHEORGHE — Rm. Vilcea, str. Topolog 20, cod 1000, oferă colecția „Tehnum” 1971—1986.

DERITEI BALINT — jud. Cluj

Modul de prezentare a schemelor împiedică publicarea materialului.

GLĂVEANU VICTOR — București
Puteți construi dipolul din cupru, restul antenei din aluminiu și nu veți observa modificări ale proprietăților antenei. O influență deosebită o are nerespectarea dimensiunilor fizice ale componentelor antenei.

ILIE CRISTIAN — jud. Prahova
Nu tubul PL500 este defect în televizorul dv., ci oscilatorul de linie. Tubul PL500 se înroșește fiindcă nu primește semnal pe grila de comandă.

Desenul din scrisoare arată că pe ecran apar două imagini — deci oscilatorul chiar când lucrează frecvența sa este diferită de 15 625 Hz.

LUȚĂ CONSTANTIN — jud. Vilcea
Bobinele sint din CuEm 0,6—8 spire cu diametrul 8 mm.

CĂLINESCU OCTAVIAN — Slatina
Folosiiți antene Yagi.

SANCIUC DAN — Suceava
Construcția, experimentarea sau deținerea unui radioemițător sint permise numai în baza unei autorizații.

Întreprinderea „Microelectronica” a oferit și oferă comerțului diode LED.

Pentru componente electronice adresați-vă Magazinului DIODA, Bd. 1 Mai nr. 126, București.

LUCA DAN — Iași
Montați potențiometre de 15 k Ω .

SAVA EMILIAN — jud. Neamț

Circuitul AY-3-8500 echipează unele televizoare „Sport” și se găsește ca piesă de rezervă pentru aceste televizoare.

UNGUREANU R. — Galați

Din construcție unele autoturisme sint prevăzute cu aprindere electronică comandată de arborele cotit.

FRĂȚEAN TRAIAN — Tg. Mureș

Slaba calitate a înregistrării pe pistele 1—4 se datorează benzii magnetice deformată mecanic la margini. Utilizați bandă de bună calitate și nu faceți modificări în partea electronică.

MĂLIȘAN ADRIAN — jud. Mureș

Puteți înlocui, așa cum doriți, capul magnetic la casetofon. Construiți orga electronică publicată în „Tehnum” nr. 1/1979, pag. 5.

NEACȘU VIOREL — Vrancea

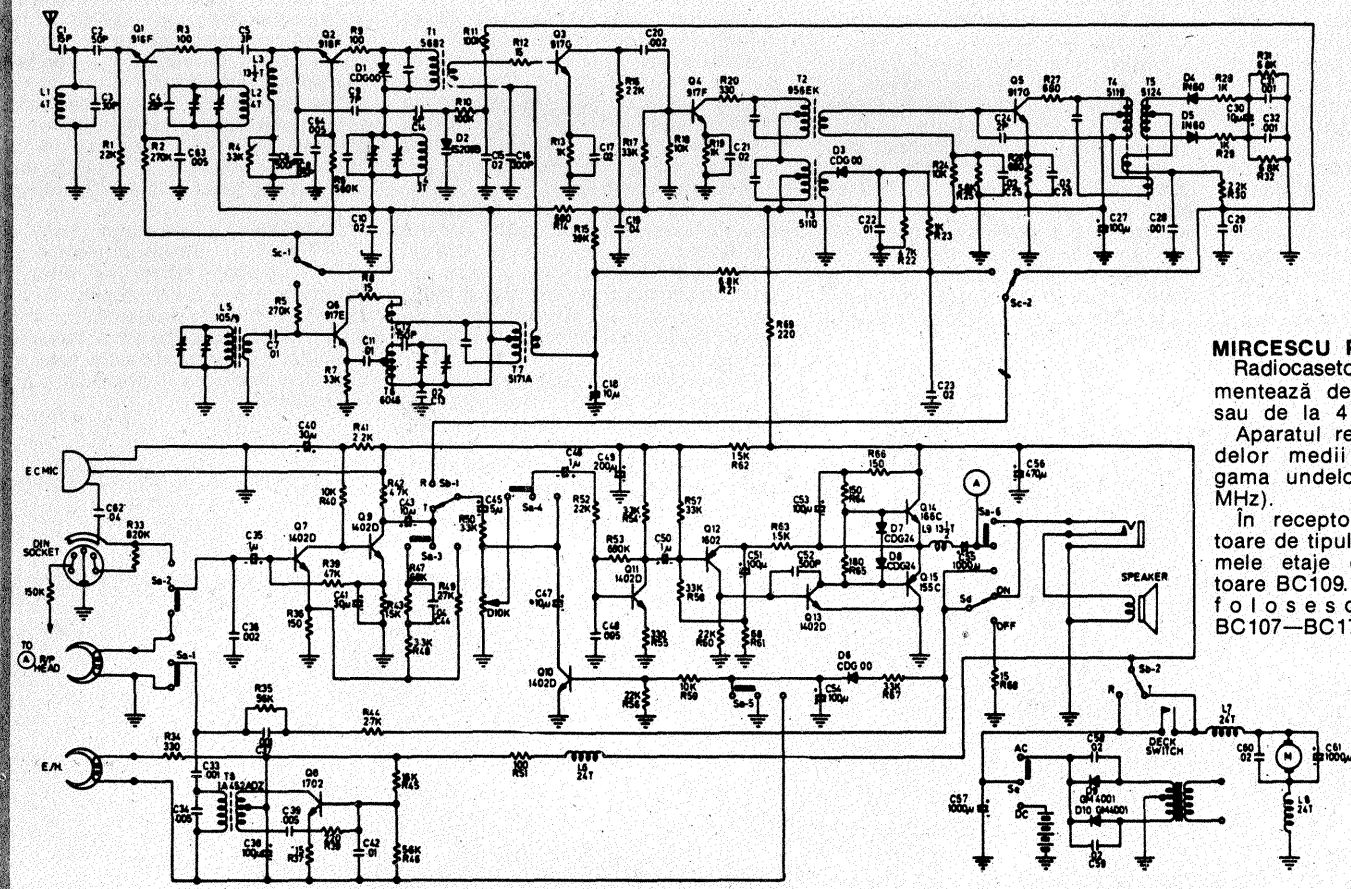
Preamplificatorul descris nu este bun pentru amplificatorul de 10 W.

LUCHIAN LIVIU — Suceava

Ca să dispară fișitul decuplați cu condensatoare linia de semnal din preamplificator (prin tatonare 1 nF—100 nF).

I. M.

RADIOCASSETOFONUL RC-810



MIRCESCU PAUL — Călărași
Radiocasetofonul RC-810 se alimentează de la rețeaua de 220 V sau de la 4 baterii de 1,5 V. Aparatul recepționează gama undelor medii (525—1 650 kHz) și gama undelor ultrascurte (88—108 MHz).

În receptor se folosesc tranzistoare de tipul BF214—215, iar în primele etaje din casetofon tranzistoare BC109. În etajul final audio se folosesc tranzistoare BC107—BC177.

Redactor-șef: ing. IOAN ALBESCU
Redactor-șef adj.: prof. GHEORGHE BADEA
Secretar responsabil de redacție: ing. ILIE MIHĂESCU
Redactor responsabil de număr: fiz. ALEXANDRU MĂRCULESCU
Prezentarea artistică-grafică: ADRIAN MATEESCU

Administrația
Editura Științelor

INDEX 44212

CITITORII DIN STRĂINĂTATE SE POT ABONA PRIN „ROMPRESFILATELIA” — SECTORUL EXPORT-IMPORT PRESĂ, P.O. BOX 12—201, TELEX 10376, PRSFIR BUCUREȘTI, CALEA GRIVIȚEI NR. 64—66.

Tiparul executat la Combinatul Poligrafic «Casa Științei»